

UNIVERSIDADE ESTADUAL DE CAMPINAS

Instituto de Química

Alana dos Reis Figueiredo

Estudo Teórico e Experimental de

Proteômica Estrutural por

Espectrometria de Massas Acoplada à

Ligação Cruzada

Dissertação apresentada no Instituto de Química da Universidade Estadual de Campinas para a obtenção do título de Mestre em Química (Área de concentração: Química Orgânica).

Orientador: Prof. Dr. Fabio Cesar Gozzo

Campinas – SP
Fevereiro de 2010

**FICHA CATALOGRÁFICA ELABORADA PELA BIBLIOTECA DO INSTITUTO DE
QUÍMICA DA UNICAMP**

Figueiredo, Alana dos Reis.
F469e Estudo teórico e experimental de proteômica estrutural por espectrometria de massas acoplada à ligação cruzada / Alana dos Reis Figueiredo. -- Campinas, SP: [s.n], 2010.

Orientador: Fabio Cesar Gozzo.

Dissertação - Universidade Estadual de Campinas, Instituto de Química.

1. Espectrometria de massas. 2. Ligação cruzada.
3. Proteômica estrutural. 4. Dinâmica molecular.
I. Gozzo, Fabio Cesar. II. Universidade Estadual de Campinas. Instituto de Química. III. Título.

Título em inglês: Experimental and theoretical study of structural proteomics by mass spectrometry coupled to cross-linking

Palavras-chaves em inglês: Mass spectrometry, Cross-linking, Structural proteomics, Molecular dynamics

Área de concentração: Química Orgânica

Titulação: Mestre em Química na área de Química Orgânica

Banca examinadora: Prof. Dr. Fabio Cesar Gozzo (orientador), Prof. Dr. Marcos Nogueira Eberlin (IQ-UNICAMP), Profa. Dra. Marcia Regina Soares da Silva (IQ-UFRJ)

Data de defesa: 25/02/2010

Dedico esta dissertação às
mulheres da minha vida:
minha mãe Maria, minha tia
Sandra e minhas irmãs
Thais e Marina.

Todos sabemos que cada dia que
nasce é o primeiro para uns e será o
último para outros e que, para a
maioria, é só um dia mais.
José Saramago

Agradecimentos

Ao meu orientador Fabio, pelos ensinamentos, pela paciência e ótima convivência.

À minha querida mãe que é a minha fonte de inspiração para persistir e vencer em meus projetos.

À minha tia Sandra que me ensinou a ser uma pessoa forte e independente.

Às minhas irmãs, Thais e Marina, pela convivência e experiências únicas.

Aos meus primos Gustavo, Lucas e Barbara, para os quais eu desejo servir como exemplo de determinação e coragem.

Aos meus amigos do Grupo Dalton, Amadeu, Luiz, Carol, Pilau, Alexandre e Mariana, pela convivência, aprendizado, brincadeiras e aventuras.

Às minhas irmãs postiças: Martha, Joana, Ana, Patrícia Aquino, Michelle, Tathiana, Sheila, Milena, Karen, Ângela, Patrícia Schonmann e Aline. Vocês estão em meu coração!

A todos os amigos de Campinas e São Paulo.

Ao Professor Munir e ao Paulo, pela colaboração, ajuda e paciência.

Ao Professor Marcos Eberlin pela assistência e disponibilidade.

Aos professores do Instituto de Química da UNICAMP pela contribuição única em minha formação acadêmica.

Ao Instituto de Química da UNICAMP e ao Laboratório Nacional de Luz Síncrotron pela infraestrutura.

À Rede de Proteoma do Estado São Paulo.

À FAPESP e ao CNPq pelo auxílio financeiro.

Curriculum Vitae

Dados Pessoais

Alana dos Reis Figueiredo
27/06/1983

Formação Acadêmica

Bacharelado em Química
Local: Universidade Estadual de Campinas - UNICAMP - Campinas - SP.
Período: março/2003 - dezembro/2007.

Participação em Congressos Científicos

III Congresso da Sociedade Brasileira de Espectrometria de Massas BrMass – Brasil (Dezembro/2009). *Evaluation of Cross-linker and Protein Dynamics in Cross-linking Coupled to Mass Spectrometry Experiments.*

Palavras-chaves: Simulação de Dinâmica Molecular e Espectrometria de Massas.

57th American Society for Mass Spectrometry – Philadelphia – PA - USA (Maio/2009). *Evaluation of Cross-linker and Protein Dynamics in Cross-linking Coupled to Mass Spectrometry Experiments.*

Palavras-chaves: Ligação cruzada, Espectrometria de Massas, Dinâmica Molecular e Biologia Estrutural.

18^a Reunião Anual de Usuários LNLS – Brasil (Fevereiro/2008). *Study of spatial constrains in the characterization of TIF34 protein.*

Palavras-chaves: Ligação Cruzada, Simulação de Dinâmica Molecular e Espectrometria de Massas.

II Congresso da Sociedade Brasileira de Espectrometria de Massas BrMass – Brasil (Dezembro/2007). *Study of spatial constrains.*

Palavras-chaves: Simulação de Dinâmica Molecular e Espectrometria de Massas.

Congresso Interno de Iniciação Científica LNLS – Brasil (Julho/2007).
Acoplamento de estruturas de afinidades em agentes de ligação cruzada.
Palavras-chaves: Ligação Cruzada e Espectrometria de Massas.

II Workshop de Biologia Estrutural LNLS – Brasil (Fevereiro/2007).
Palavras-chaves: Análise Estrutural de Proteínas, Cristalografia de Raios-X, Ressonância Magnética Nuclear, Espectrometria de Massas.

XI Disciplina Intersemestral UNICAMP – Métodos Modernos de Caracterização Estrutural e Dinâmica de Proteínas – Brasil (Janeiro/2007).
Palavras-chaves: Análise Estrutural de Proteínas, CRX, RMN, MS.

Produção Bibliográfica

FIGUEIREDO, A. R.; SOUZA, P. C. T.; SKAF, M. S.; GOZZO, F. C. *Evaluation of Cross-linker and Protein Dynamics in Cross-linking Coupled to Mass Spectrometry Experiments*. 3º Congresso da Sociedade Brasileira de Espectrometria de Massas, 2009, Campinas.

FIGUEIREDO, A. R.; SOUZA, P. C. T.; SKAF, M. S.; GOZZO, F. C. *Evaluation of Cross-linker and Protein Dynamics in Cross-linking Coupled to Mass Spectrometry Experiments*. 57th ASMS Conference on Mass spectrometry, 2009, Philadelphia.

FIGUEIREDO, A. R.; IGLESIAS, A. H.; GOZZO, F. C. *Study of spatial constrains of Tif34 protein for cross-linking experiments*. 2º Congresso da Sociedade Brasileira de Espectrometria de Massas, 2007, Campinas.

Resumo

A espectrometria de massas (MS) desempenha um papel fundamental na proteômica, pois permite a identificação de proteínas, seqüenciamento de peptídeos, determinação de modificações pós-traducionais e análise quantitativa de expressão. Além das análises envolvendo a estrutura primária, há um grande interesse em se aplicar MS para análise de estruturas superiores (terciárias e quaternárias) de proteínas e uma das abordagens promissoras nesta área é a MS acoplada à ligação cruzada. Nesta abordagem, um reagente bifuncional liga covalentemente resíduos de aminoácidos espacialmente próximos e a distância máxima entre esses resíduos é dado pelo tamanho do agente de ligação cruzada (ALC). Nesse trabalho avaliou-se a extensão e exatidão das distâncias interresíduos tanto por simulações de dinâmica molecular quanto por experimentos de MS. As faixas de distâncias calculadas mostram que há sempre uma distância mínima entre resíduos ao qual o ALC pode se ligar, além de determinar o valor máximo para cada um dos ALC estudados (DSG, DSS e DSSeb). Os dados experimentais com proteínas modelo (Ubiquitina, Citocromo C e Mioglobina) mostraram ainda que todos os peptídeos que apresentavam ligações cruzadas estavam dentro da faixa de alcance determinadas pelas simulações de dinâmica molecular, confirmando a exatidão do método. Os novos valores de tamanho das moléculas de ALC estudados podem agora ser utilizados para a determinação de estruturas superiores de proteínas através da técnica de MS acoplada a ligação cruzada.

Abstract

Mass spectrometry (MS) plays a key role in proteomics because it allows the identification of proteins, peptide sequencing, determination of post-translational modifications and quantitative expression analysis. There is a great interest in using MS to perform analysis beyond the primary structure, i. e. tertiary and quaternary structures, and one of the most promising approaches in this field is MS coupled to cross-linking technique. In this approach, a bifunctional reagent covalently binds amino acid residues that are close in space and the maximum distance between these residues is given by the arm length of the cross-linking agent. In this study we evaluated the extent and accuracy of the inter-residues distances by both molecular dynamics simulations and MS experiments. Simulated distance ranges showed that there is a minimum distance between residues to which the reagent can bind and a maximum value for each of the studied reagents (DSG, DSS and DSSeb). The experimental data from model proteins (Ubiquitin, Cytochrome C and Myoglobin) also showed that all the detected modified peptides were within the ranges determined by the molecular dynamics simulations, confirming the accuracy of the method. The new space arm length values of the reagent molecules can now be used for the determination of proteins higher structures by the MS coupled to cross-linking technique.

Índice

Lista de Acrônimos e Abreviaturas.....	xiii
Lista de Tabelas.....	xiv
Lista de Figuras.....	xv
1. Introdução.....	01
1.1. Espectrometria de Massas (MS).....	01
1.2. Ligação Cruzada combinada à Espectrometria de Massas.....	03
1.3. Simulações de Dinâmica Molecular.....	08
2. Objetivos.....	11
2.1. Objetivo Geral.....	11
2.2. Objetivos Específicos.....	11
3. Parte Experimental.....	12
3.1. Experimentos de Ligação Cruzada.....	12
3.1.1. Preparação das amostras para avaliação do número médio de modificações por proteínas em função da concentração de ALC.....	12
3.1.2. Preparação das amostras para identificação dos peptídeos modificados.....	12
3.2. Análise dos produtos de reação por MS.....	13
3.2.1. Análise das proteínas intactas modificadas.....	13
3.2.2. Análise dos digestos.....	15
3.3. Cálculos <i>ab initio</i>	17
3.4. Simulações de Dinâmica Molecular (DM).....	18
3.4.1. Simulação dos ALC.....	19
3.4.2. Simulação das Ubq modificadas.....	19
4. Resultados e Discussão.....	20
4.1. Cálculo das Cargas Atômicas.....	20
4.2. Simulações de Dinâmica Molecular.....	27
4.2.1. Faixas de distância dos ALC solvatados.....	27
4.2.3. Faixas de distância dos ALC parcialmente ligados.....	30

4.3. Experimentos ALC + MS.....	36
4.3.1. Análise das proteínas intactas modificadas: Número de modificações por proteína.....	36
4.3.2. Mapeamento dos resíduos de lisina da Ubq.....	46
4.3.3. Análise de LC-MS/MS: Identificação dos peptídeos ligados pelos ALC.....	50
5. Conclusões.....	61
6. Referências.....	63
7. Anexos.....	67
7.1. Arquivo Topologia.....	67
7.2. Arquivo Parâmetro.....	75

Acrônimos e Abreviaturas

ACN.....	Acetonitrila
Cadeia Espaçadora.....	CE
CID.....	Dissociação induzida por colisão
CitC.....	Citocromo C
Da.....	Dalton
DDA.....	Análise dependente dos dados
DMF.....	Dimetilformamida
DRX.....	Difração de Raios-X
DSG.....	Dissuccinimidil Glutarato
DSS.....	Dissuccinimidil Suberato
DSSeb.....	Dissuccinimidil Sebacato
ESI.....	Ionização por <i>Electrospray</i>
HF.....	Hartree-Fock
[M+H] ⁺	Molécula monocarregada
MB.....	Mioglobina
MS.....	Espectrometria de Massas
MS/MS.....	Espectrometria de Massas Sequencial
m/z.....	Relação massa-carga
NCBI.....	<i>National Center for Biotechnology Information</i>
NHS.....	N-hidróxisuccinimida
RMN.....	Ressonância Magnética Nuclear
RCSB.....	<i>Research Collaboratory for Structural Bioinformatics</i>
SDS-PAGE.....	Eletroforese em gel de poliacrilamida – Dodecilsulfato de sódio
Tris-HCl.....	Tris-Hidrocloreto
Ubq.....	Ubiquitina
UPLC.....	Cromatografia Líquida de Ultra Desempenho
ALC.....	Agente(s) de Ligação Cruzada
ALC + MS.....	Ligação Cruzada combinada à Espectrometria de Massas

Lista de Tabelas

Tabela 1: Diferenças acrescidas pelas modificações nas massas das proteínas.....	14
Tabela 2: Cargas atômicas do DSSeb.....	22
Tabela 3: Cargas atômicas do DSG.....	23
Tabela 4: Cargas atômicas do DSS.....	24
Tabela 5: Faixas de alcance dos ALC considerando uma freqüência relativa mínima de 10%.....	28
Tabela 6: Pares de lisinas do CitC que podem formar ligações cruzadas.....	49
Tabela 7: Pares de lisinas da Mb que podem formar ligações cruzadas.....	49
Tabela 8: Peptídeos modificados da Ubq.....	55
Tabela 9: Peptídeos modificados do CitC.....	55
Tabela 10: Peptídeos modificados da Mb.....	55

Lista de Figuras

Figura 1: Principais áreas de aplicação da Espectrometria de Massas. Dados obtidos da base de dados ISI Web of Knowledge no período de 1993 a 2004, considerando as 500 principais publicações do ano.....	02
Figura 2: Esquema da reação entre o ALC reativo a grupos amina (~~~~= cadeia espaçadora).....	03
Figura 3: Os ALC baseados em ésteres da NHS, empregados nesse estudo.....	04
Figura 4: Tipos de produtos previstos na reação de ligação cruzada. Adaptado da referência [21].....	05
Figura 5: Estratégia para detecção de peptídeos ligados pelos ALC por MS e a aquisição da informação estrutural [22].....	06
Figura 6: Perfil cromatográfico utilizado na eluição das proteínas intactas.....	13
Figura 7: Perfil cromatográfico utilizado na eluição dos digestos protéicos.....	15
Figura 8: Parâmetros empregados na identificação das proteínas.....	16
Figura 9: As linhas coloridas destacam os diedros que foram mantidos fixos (em ambos as extremidades dos ALC) durante a otimização da estrutura para posterior cálculo das cargas atômicas.....	20
Figura 10: Estrutura do agente de ligação cruzada DSSeb.....	22
Figura 11: Estrutura do agente de ligação cruzada DSG.....	23

Figura 12: Estrutura do agente de ligação cruzada DSS.....	24
Figura 13: Varredura do diedro entre os átomos –(CNO)– do grupo NHS.....	25
Figura 14: Histogramas das distâncias da cadeia espaçadora dos ALC livre em solução: A - DSG, B – DSS e C – DSSeb.....	27
Figura 15: A – Diferença na determinação das faixas de distância para o DSG e DSS, feitas em nosso estudo (1) e por Green et al [46] (2). B – Limites inferior e superior relatados por Green et al [46] não foram estatisticamente analisados.....	29
Figura 16: Histogramas dos comprimentos das cadeias espaçadoras: A - DSG, B - DSS e C - DSSeb parcialmente ligados a lisina 33 da Ubq.....	30
Figura 17: Histogramas dos comprimentos das cadeias espaçadoras: A - DSG, B -DSS e C - DSSeb parcialmente ligados a lisina 11 da Ubq.....	31
Figura 18: Histogramas dos comprimentos das cadeias espaçadoras: A - DSG, B -DSS e C - DSSeb parcialmente ligados a lisina 29 da Ubq.....	31
Figura 19: A – Interação entre o DSS e o resíduo treonina 12 relacionado à gaussiana em torno de 8,6 Å. B – Em destaque, a barreira estérica formada pelos resíduos ao redor da lisina 33 a qual o DSS está ligado, que impede um maior estiramento da cadeia espaçadora do ALC.....	32
Figura 20: Faixas de distâncias (medida em Å) do DSG livre e parcialmente ligado as lisinas 33, 11 e 29 da Ubq.....	33
Figura 21: Faixas de distâncias (medida em Å) do DSS livre e parcialmente ligado as lisinas 33, 11 e 29 da Ubq.....	33

Figura 22: Faixas de distâncias (medida em Å) do DSSeb livre e parcialmente ligado as lisinas 33, 11 e 29 da Ubq.....	34
Figura 23: Espectros de Massa das proteínas intactas (não modificadas) A – Ubq, B – CitC e C – Mb.....	38
Figura 24: Espectros de massa da Ubq após reação com ALC, nas proporções A – 1:10, B – 1:20 e C – 1:50 (CitC:DSS).....	39
Figura 25: Espécies detectadas pela análise por LC-MS da Ubq intacta – Controle, e dos produtos de reação de ligação cruzada com DSS nas proporções 1:10 , 20 e 50 Ubq:DSS.....	40
Figura 26: Número de modificações observado para as proporções molares 1:05, 1:10, 1:20 e 1:50, Ubq:DSS.....	41
Figura 27: Espécies detectadas pela análise por LC-MS da Ubq intacta – Controle, e dos produtos de reação de ligação cruzada na proporção molar 1:10, Ubq:ALC.....	42
Figura 28: Espécies detectadas pela análise por LC-MS do CitC intacto – Controle, e dos produtos de reação de ligação cruzada na proporção molar 1:10, Ubq:ALC.....	43
Figura 29: Espécies detectadas pela análise por LC-MS da Ubq intacta – Controle, e dos produtos de reação de ligação cruzada na proporção molar 1:10, Ubq:ALC.....	44
Figura 30: Mapeamento das distâncias entre os pares de lisinas da Ubq pelos ALC.....	46

Figura 31: Estrutura da Ubq obtida por DRX (1UBQ.pdb), destacando a proximidade dos resíduos de lisina 6 e 11.....	47
Figura 32: Cromatogramas dos digestos de Citocromo C após reação com os ALC e da amostra controle.....	51
Figura 33: Espectro de massa dos peptídeos detectados em torno do tempo de retenção 19,5 min para as amostras de CitC controle, DSG, DSS e DSSeb.....	52
Figura 34: Nomenclatura utilizada na identificação dos fragmentos observados na dissociação de peptídeos em fase gasosa.....	57
Figura 35: A – Espectro de MS/MS do peptídeo LIFAGKQLEDGR – TLSDYNIQKESTLHLVLR (m/z 723,8) da Ubq contendo uma modificação do tipo interpeptídeo e, B – Espectro de MS/MS do peptídeo EDLIAYLKKATNE (m/z 823,4) do CitC contendo uma modificação do tipo intrapeptídeo.....	58
Figura 36: Mapas de ligação das proteínas Ubq, Mb e CitC, construídos a partir dos peptídeos modificados listados nas Tabelas 6 – 7. As lisinas em vermelho são as com modificações do tipo <i>dead end</i>	59

1. Introdução

1.1. Espectrometria de Massas

Ao longo do seu desenvolvimento, a espectrometria de massas (MS) vivenciou uma acentuada difusão em diversas áreas da ciência em vista das vantagens intrínsecas da técnica, tais como: alta sensibilidade, rapidez, versatilidade, facilidade de operação e alta confiabilidade dos resultados. [1]

O interesse em se utilizar a MS para análise de proteínas e outras macromoléculas remonta a década de 60. Contudo, o uso da técnica para análise de proteínas só alcançou sucesso a partir da década de 80, com a utilização de FAB (*Fast Atom Bombardment*) como fonte de íons. No entanto, a aplicação restringia-se à análise de pequenos peptídeos derivatizados e que muitas vezes necessitavam de experimentos de Degradação de Edman para a confirmação dos resultados [1,2].

A partir do fim da década de 80, a análise de peptídeos e proteínas por MS deu um grande salto devido ao desenvolvimento das técnicas de ionização ESI [3] e MALDI [4], que possibilitaram a ionização e volatilização dessas macromoléculas com alta eficiência e sem a necessidade de derivatização [5]. Com isso, houve nesse período o desenvolvimento de novos instrumentos comerciais altamente apropriados a análise proteômica, dos tipos *ion trap*, quadrupolo-tempo de vôo (Q-Tof), tempo de vôo-tempo de vôo (Tof-Tof), *ion trap* linear-Orbitrap (LIT-Orbitrap) e *ion trap* linear-ressonância ciclotrônica de íons (LIT-ICR) [6].

Desde então, a utilização da MS para análise de proteínas e peptídeos tem se destacado como uma das principais aplicações da técnica, como pode ser observado na Figura 1 [7]. Dentre as aplicações mais comuns nesta área destacam-se a identificação de proteínas, a determinação da massa dessas macromoléculas, o seqüenciamento de peptídeos, a identificação e localização de modificações pós-traducionais e a quantificação relativa e absoluta de proteínas [8-14].

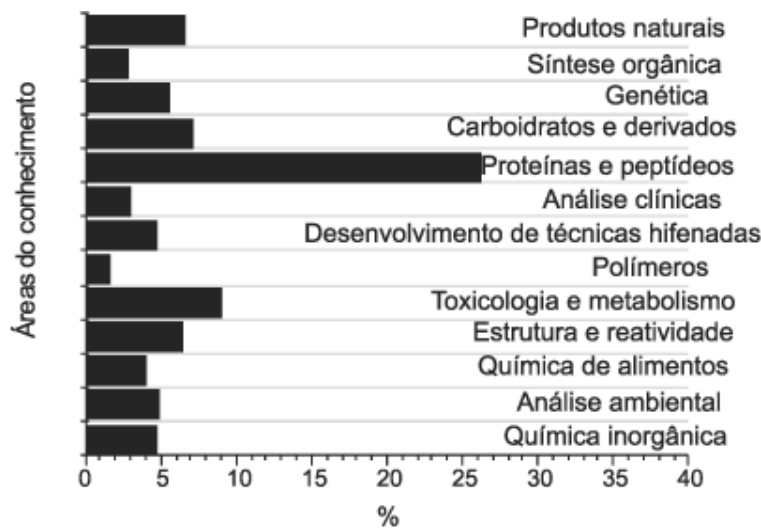


Figura 1: Principais áreas de aplicação da Espectrometria de Massas. Dados obtidos da base de dados ISI Web of Knowledge no período de 1993 a 2004, considerando as 500 principais publicações do ano. [7]

Hoje a MS é a principal ferramenta analítica para obtenção de dados relacionados à estrutura primária de proteínas. Devido às suas características atrativas, há recentemente um grande interesse em expandir suas aplicabilidades para o estudo de estruturas superiores de proteínas (terciárias e quaternárias), área denominada de proteômica estrutural. Nesse contexto, os principais métodos baseados em MS disponíveis para o estudo de estruturas superiores de proteínas são: troca H/D [15-16], *footprinting* [17], ligação cruzada [18] e mobilidade iônica [19].

1.2. Ligação Cruzada combinada à Espectrometria de Massas para obtenção de dados estruturais de proteínas e complexos protéicos

Em 2000, Young [19] e colaboradores propuseram o uso da técnica de Ligação Cruzada combinada à Espectrometria de Massas na aquisição de dados estruturais de proteínas e complexos protéicos. Estas informações seriam provenientes do tamanho da cadeia espaçadora do reagente utilizado para a formação da ligação cruzada.

A ligação cruzada é uma modificação química onde as cadeias laterais de dois aminoácidos na superfície da proteína que estejam espacialmente próximas são ligadas covalentemente através de um agente de ligação cruzada (ALC). Os ALC são compostos orgânicos multifuncionais, contendo pelo menos dois grupos reativos derivados de agentes de modificação química clássicos, unidos por uma cadeia conhecida como cadeia espaçadora (CE) [20].

Estes compostos, na presença de proteínas, reagem com as cadeias laterais dos aminoácidos de acordo com suas especificidades. Os ALC mais utilizados consistem em compostos contendo dois grupos N-hidróxisuccinimida (NHS) nas extremidades da cadeia. Estes ALC reagem com os grupos aminas de proteínas por meio de uma substituição nucleofílica, levando a formação de uma ligação amida (Figura 2). Portanto, utilizou-se neste trabalho essa classe de ALC.

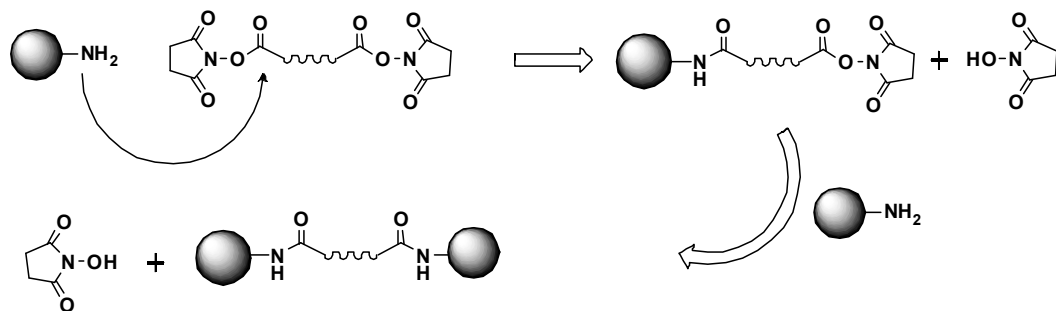


Figura 2: Esquema da reação entre o ALC reativo a grupos amina ($\sim\sim\sim$ = cadeia espaçadora).

Outra particularidade dos ALC utilizados nesse trabalho é que estes são homólogos, ou seja, apresentam mesma reatividade, porém, comprimentos das cadeias espaçadoras (CE) distintos (Figura 3), o que permite sondar diferentes distâncias inter-resíduos de aminoácidos, possibilitando a comparação dos resultados obtidos, refinando as informações estruturais obtidas.

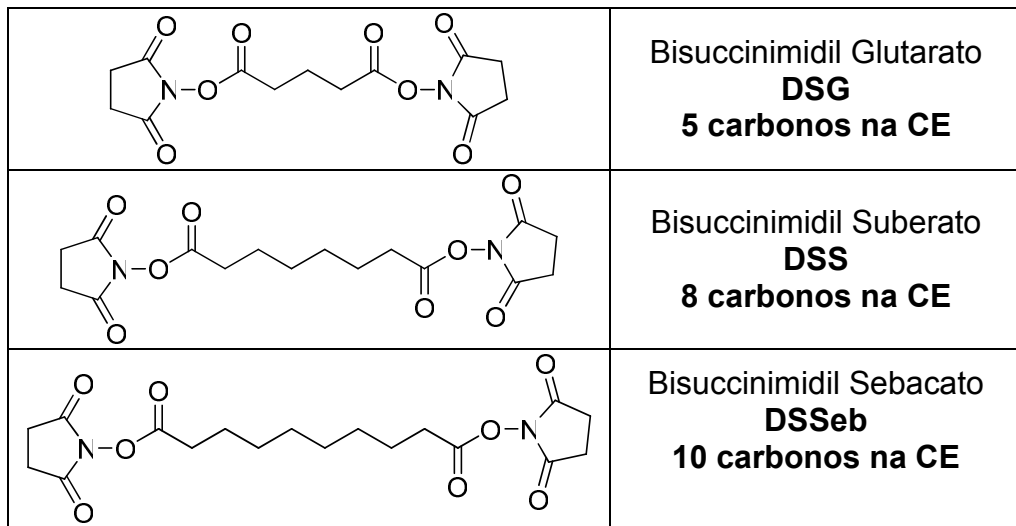


Figura 3: Os ALC baseados em ésteres da NHS empregados nesse estudo.

Em vista da alta labilidade do grupo NHS, os ALC estão suscetíveis à hidrólise, que compete com a formação da ligação amida com resíduos de lisina e o grupo amino-terminal. Dessa forma, durante a reação da proteína com os ALC são formados três principais produtos de reação: o interpeptídeo ou *cross-linking*, que ocorre quando o ALC reage com duas lisinas pertencentes a peptídeos distintos; o intrapeptídeo ou *loop-link*, que ocorre quando o ALC reage com duas lisinas pertencentes a um mesmo peptídeo, e o *dead end* quando o ALC reage com apenas uma lisina e tem a outra ponta hidrolisada, como mostrado na Figura 4 [21]. Além disso, também é possível a formação de uma quarta modificação, produto da reação entre uma das extremidades do ALC e o reagente Tris-HCl, que é adicionado ao final da reação para consumo do excedente de ALC.

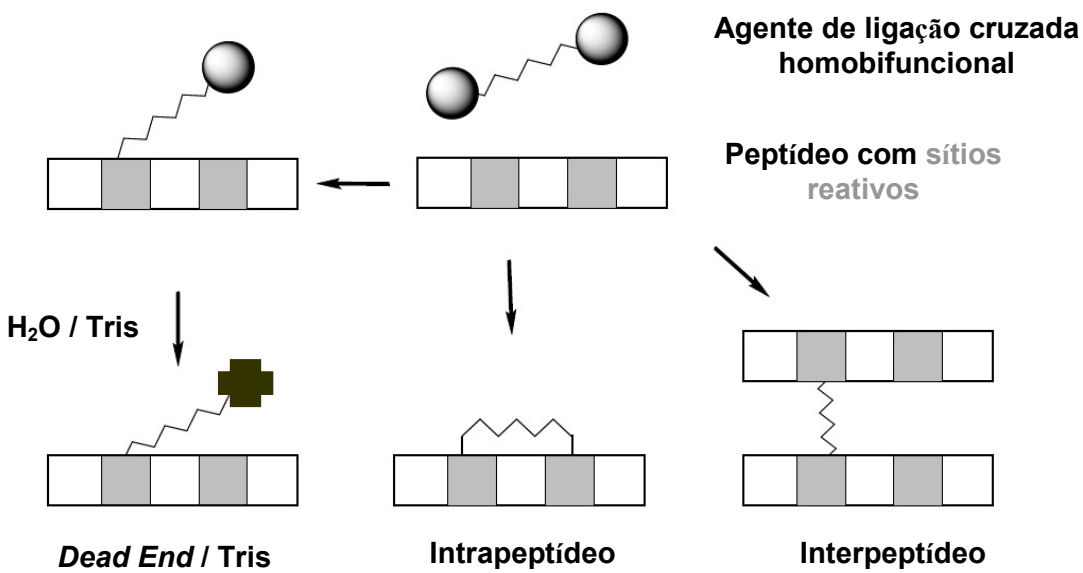


Figura 4: Tipos de produtos previstos na reação de ligação cruzada.
Adaptado da referência 21.

A utilização da MS para análise dos produtos de reação de ligação cruzada permite identificar os peptídeos contendo as modificações descritas anteriormente, o que é feito por meio da estratégia analítica mostrada na Figura 5 [22], que descreve um típico experimento de ligação cruzada combinado à análise dos produtos de reação por espectrometria de massas.

Após o complexo protéico ser submetido à reação com ALC, a análise deste por eletroforese em gel de poliacrilamida em condições desnaturantes apresenta novas bandas em regiões de maior massa molar, correspondentes à união de duas ou mais cadeias polipeptídicas. Submetendo o conteúdo dessas bandas a identificação por MS revela-se a identidade das cadeias polipeptídicas unidas, permitindo assim, a construção de um modelo topológico. Outra possível análise consiste na identificação dos sítios específicos de interação, o que constitui um nível superior de informação, envolvendo dados de MS/MS. A distância das cadeias espaçadoras define as restrições espaciais entre os pares ligados, o que permite que, por meio de modelagem molecular, sejam obtidas estruturas que satisfaçam a lista de distâncias obtidas experimentalmente [24].

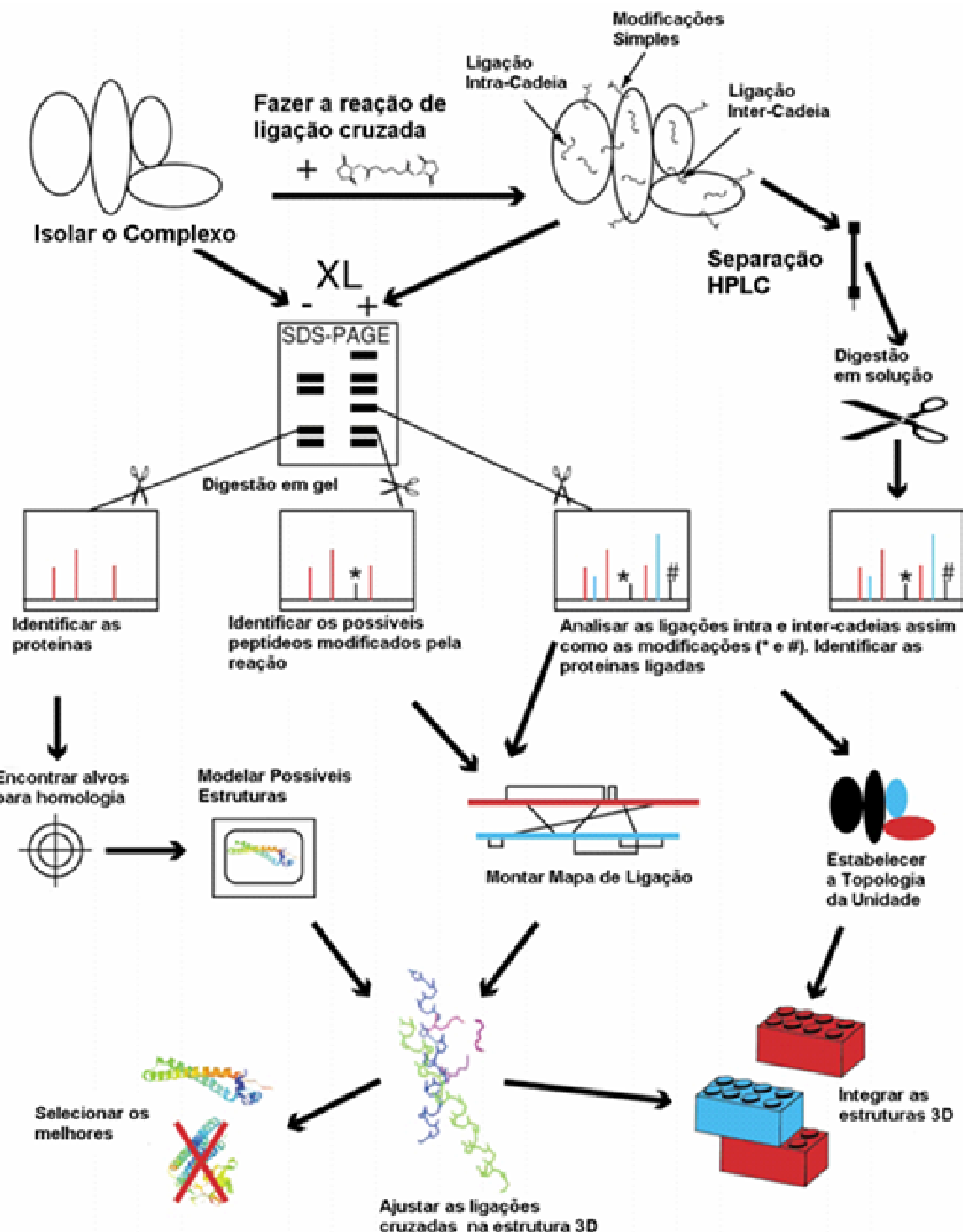


Figura 5: Estratégia para detecção de peptídeos ligados pelos ALC por MS e a aquisição da informação estrutural [22].

Por meio desta abordagem, vários sistemas de diferentes níveis de complexidade já foram modelados. Como exemplos, foram determinadas estruturas de proteínas até então não resolvidas por cristalografia de raios-X, como o caso da apolipoproteína A-I humana [23], além de estruturas de homodímeros (protease humana C1r) [24] e heterodímeros (gp43/gp45 da holoenzima DNA-polimerase do bacteriófago T4, Ffh/Fts Y de *Escherichia coli*) [25, 26].

1.3. Simulações de Dinâmica Molecular

Quando se deseja obter informações relacionadas à dinâmica de um dado sistema com resolução espacial e temporal recorre-se à técnica de dinâmica molecular, já a técnica pode fornecer tais informações, permitindo ainda correlacionar estrutura e dinâmica com alto grau de completeza e precisão, o que não pode ser realizado por nenhuma técnica experimental [27].

As análises de dinâmica molecular são feitas por meio de simulações computacionais dos movimentos moleculares, cujo ponto de partida é a determinação de um modelo para descrição de todas as interações moleculares, sejam elas inter- ou intra-moleculares [27].

Em geral, as simulações envolvendo proteínas são simulações clássicas, isto é, nenhum efeito quântico é considerado, o que significa dizer que, durante as simulações, não ocorre quebra ou formação de ligações, não são consideradas interações entre orbitais e efeitos de ressonância.

Nas simulações clássicas o potencial de interação é aproximado para potenciais harmônicos, que descreve adequadamente todas as ligações covalentes e interações das moléculas comuns, em especial biomoléculas, nas temperaturas e escalas de tempo usualmente encontradas em experimentos reais.

O potencial harmônico que representa as ligações nesta abordagem tem a seguinte forma:

$$V_{cov}(i, j) = K(r - r_{eq})^2,$$

onde r é a distância entre os dois núcleos, K e r_{eq} são a constante de força do oscilador harmônico e a distância de equilíbrio. Já as interações eletrostáticas (V_{elec}) e interações dispersivas (V_{disp}) têm as seguintes formas:

$$V_{elec}(i, j) = \frac{q_i q_j}{r_{ij}} \quad \text{e} \quad V_{disp}(i, j) = 4\epsilon_{ij} \left[\left(\frac{\sigma_{ij}}{r_{ij}} \right)^{12} - \left(\frac{\sigma_{ij}}{r_{ij}} \right)^6 \right]$$

onde em V_{elec} , q_i e q_j são as cargas dos átomos i e j e r_{ij} é a distância entre eles, e em V_{disp} , ϵ_{ij} e σ_{ij} correspondem aproximadamente a soma dos raios de van der

Waals dos dois átomos envolvidos na interação e ao potencial associado à distância em que estes átomos envolvidos na interação dispersivamente da forma mais efetiva [27].

Para moléculas grandes, os átomos separados por mais de quatro ligações covalentes interagem como se fossem átomos não ligados e, portanto, por meio dos potenciais eletrostático e dispersivo, já descritos aqui. No entanto, nestes casos, outros parâmetros devem ser incluídos para representar as torções angulares (planar) e dos ângulos diedros (fora do plano). Estes potenciais também são tratados de maneira clássica, da seguinte forma:

$$V_{ang}(i, j, k) = K_\theta(\theta - \theta_{eq})^2$$

$$V_{die}(i, j, k, l) = K_\psi[1 + \cos(n\psi - \delta)].$$

onde K_θ e K_ψ são as constantes de forças do oscilador harmônico e δ e θ_{eq} são o ângulo diedro e ângulo de equilíbrio [27].

Um dos maiores desafios na realização de simulações de dinâmica molecular é a parametrização dos campos de força, ou seja, a determinação de todas as constantes de forças e valores de equilíbrio necessários para descrição das interações moleculares de um dado sistema. No que se referem às proteínas, estas possuem campos de força consolidados para a descrição do potencial de interação entre os átomos que as constituem, destacando-se os campos de força CHARMM [28], GROMOS96 [29], AMBER [30], OPLS [31].

Já para os ALC, em especial, os utilizados neste estudo (Figura 3), cuja porção da molécula correspondente ao grupo NHS apresenta estrutura eletrônica bastante distinta, não há na literatura campos de forças que descrevam adequadamente o potencial de interação dos átomos constituintes destas espécies, o que dificultava, até então, o desenvolvimento de estudos de dinâmica molecular dessas espécies. Por conta disso, a maioria dos trabalhos publicados na literatura [32-34] fazia uso dos valores máximos do tamanho da cadeia espaçadora fornecidos pelos fabricantes, o que, definitivamente, não representa o real alcance desses compostos.

Em vista desse panorama, o presente projeto se propôs a investigar os valores de distância alcançados pelos ALC, tanto de forma teórica (através de simulações de dinâmica molecular) quanto experimentalmente, através da análise de dados de experimentos de ligação cruzada acoplados a espectrometria de massas.

2. Objetivos

2.1. Objetivo Geral

Avaliar a extensão e exatidão das informações estruturais obtidas pela técnica de Ligação Cruzada combinada à Espectrometria de Massas.

2.2. Objetivos Específicos

1 – Realização de experimentos de ligação cruzada empregando os seguintes ALC: DSG, DSS e DSSeb, e as proteínas Ubiquitina (Ubq), Mioglobina (Mb) e Citocromo C (CytC);

2 – Mapeamento do número de potenciais pares de lisinas que podem ser ligados pelos ALC, a partir das estruturas experimentais de RMN das proteínas;

3 – Realização de cálculos *ab initio* para a determinação das cargas atômicas, distâncias e ângulos de equilíbrio das estruturas dos ALC;

4 – Realização de simulações de dinâmica molecular dos ALC para determinação das faixas de alcance e flexibilidade das cadeias espaçadoras tanto solvatados como ligados na superfície das proteínas;

5 – Comparaçāo dos dados experimentais e teóricos das distâncias alcançadas pelos ALC.

3. Parte Experimental

3.1. Experimentos de Ligação Cruzada

3.1.1. Preparação das amostras para avaliação do número médio de modificações por proteínas em função da concentração de ALC

As proteínas Ubiquitina (Ubq), Mioglobina (Mb) e Citocromo C (CytC), Sigma, foram solubilizadas em tampão fosfato de sódio (50×10^{-3} mol dm $^{-3}$ e pH 7,0), na concentração final de 1 mg mL $^{-1}$. Alíquotas de 50 μ L de cada proteína foram separadas. Às alíquotas foram adicionados volumes da solução ALC (DSG, DSS e DSSeb) em dimetilformamida, 4 mg mL $^{-1}$, para uma razão molar de 1:10, 20 e 50 (proteína:ALC), mantendo-se a concentração de DMF menor que 10%. Uma alíquota extra de cada proteína foi utilizada como controle da reação. A reação foi mantida a temperatura ambiente por 2 horas, e ao final foi adicionado o tampão Tris-HCl (1 mol dm $^{-3}$, pH 7,6) para consumo do excesso de ALC. Essas amostras foram centrifugadas a 10 krpm (rotações por minuto) durante 10 minutos, diluídas a concentração final de 5×10^{-6} mol dm $^{-3}$ e submetidas à análise por MS.

3.1.2. Preparação das amostras para identificação dos peptídeos modificados

A preparação das amostras foi feita como descrito em 3.1.1., mantendo-se a proporção de 1:10 (proteína:ALC). Ao final da reação, foi feita a digestão enzimática das proteínas utilizando tripsina (Sigma), na razão de 1:50 (m/m) tripsina:proteína, durante 24 h a 37 °C. Após isso, essas amostras foram centrifugadas a 10 krpm durante 10 minutos, diluídas a concentração final de 10×10^{-6} mol dm $^{-3}$ e submetidas à análise por MS e MS/MS.

3.2. Análise dos produtos de reação por MS

3.2.1. Análise das proteínas intactas modificadas

As análises foram feitas por UPLC-ESI-MS no equipamento Waters Synapt HDMS (Waters Corp., Manchester, UK). As proteínas foram dessalinizadas na coluna *trapping*, e então direcionadas à coluna C18 onde foram eluídas aumentando-se a concentração de acetonitrila (ACN), de acordo com perfil cromatográfico mostrado na Figura 6. Os espectros foram adquiridos no modo V+, de m/z 300 – 3000, durante 30 min.

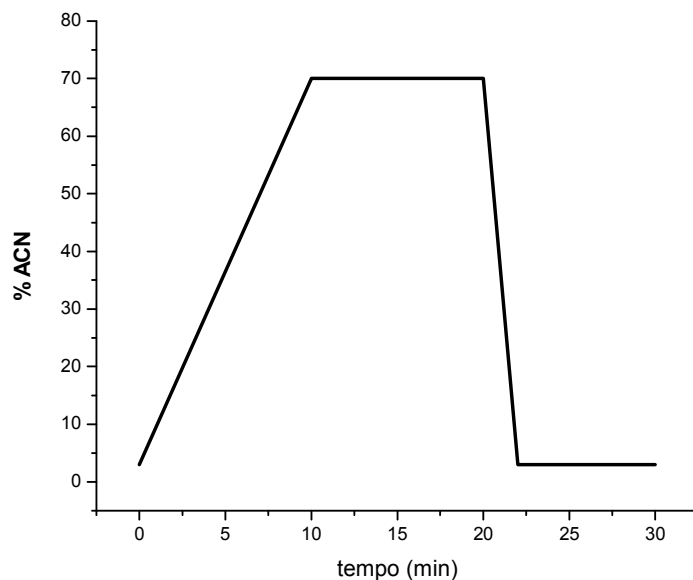


Figura 6: Perfil cromatográfico utilizado na eluição das proteínas intactas.

A determinação do número de modificações por proteína foi feita a partir da deconvolução dos espectros das espécies multicarregadas para espectros de massa neutra utilizando o programa MAXent1 [35]. Nos espectros de massa das espécies o número e tipo de modificação foram atribuídos de acordo com as variações em massa, descritos na tabela 1.

Tabela 1: Diferenças acrescidas pelas modificações nas massas das proteínas

ALC	Modificação	Δm (u)
DSG	Intra/Inter	96,02
	<i>Dead End</i>	114,03
	Tris	217,10
DSS	Intra/Inter	138,07
	<i>Dead End</i>	156,08
	Tris	259,14
DSSeb	Intra/Inter	166,10
	<i>Dead End</i>	184,11
	Tris	287,17

3.2.2. Análise dos digestos

As análises foram feitas por UPLC-ESI-MS e MS/MS no equipamento Waters Synapt HDMS (Waters Corp., Manchester, UK). Os peptídeos foram dessalinizados por cerca de 5 minutos, e então direcionados para coluna de separação (C18) onde foram eluídos aumentando-se a concentração de ACN, de acordo com o perfil cromatográfico mostrado na Figura 7.

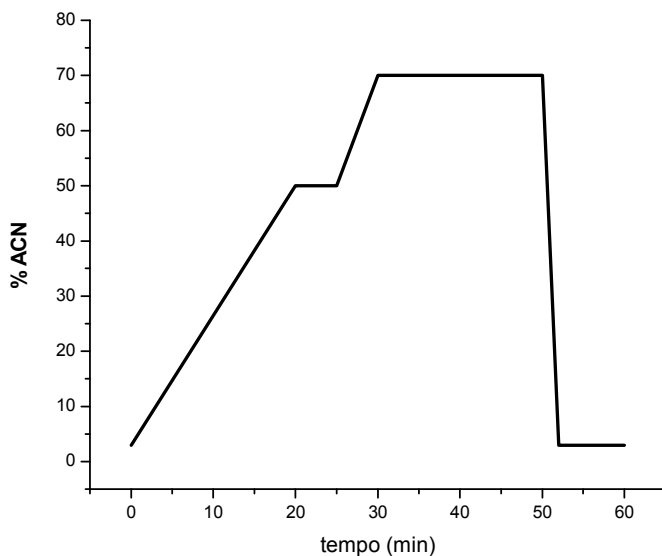


Figura 7: Perfil cromatográfico utilizado na eluição dos digestos protéicos.

A aquisição dos espectros de MS e MS/MS foi feita através de uma análise do tipo DDA (análise dependente dos dados), onde a cada segundo o equipamento adquire um espectro de massa. No caso da presença de espécies multicarregadas, as 3 mais intensas são selecionadas e então fragmentadas na câmera de colisão, contendo gás argônio, (energia de colisão definida pela m/z e carga do precursor).

Os espectros de massa (.raw) foram processados utilizando o programa Proteinlynx (Waters Co.), onde foi feita a deconvolução, deisotopização e correção dos sinais utilizando o ácido fosfórico como referência. Os espectros corrigidos

foram salvos no formato *.pk1*. Esses arquivos foram carregados no programa Mascot (Matrix Science) para a confirmação da identidade das proteínas e determinação das sequências primárias. As buscas foram feitas de acordo com os parâmetros mostrados na Figura 8.

Your name	Alana dos Reis Figueiredo		Email	alanarf@gmail.com	
Search title	Ubiquitina - Controle				
Database	MSDB				
Taxonomy	All entries				
Enzyme	Trypsin		Allow up to	1	missed cleavages
Fixed modifications	Acetyl (K) Acetyl (N-term) Acetyl (Protein N-term) Amidated (C-term) Amidated (Protein C-term)		Variable modifications	Oxidation (F) Oxidation (HW) Oxidation (K) Oxidation (M) Oxidation (N)	
Quantitation	None				
Peptide tol. ±	0.1	Da	# ¹³ C	0	
MS/MS tol. ±	0.1		Da		
Peptide charge	2+ and 3+		Monoisotopic	<input checked="" type="radio"/>	Average <input type="radio"/>
Data file	C:\PKL\180309 Ubq Controle.pk <input type="button" value="Browse..."/>				
Data format	Micromass (.PKL)		Precursor	m/z	
Instrument	ESI-QUAD-TOF		Error tolerant	<input type="checkbox"/>	
Decoy	<input type="checkbox"/>		Report top	AUTO	hits
<input type="button" value="Start Search ..."/>			<input type="button" value="Reset Form"/>		

Figura 8: Parâmetros empregados na identificação das proteínas.

Usando o programa MassExtract, desenvolvido em nosso laboratório, a partir dos arquivos .pkl foram obtidos os valores MH+, correspondentes às espécies monocarregadas. Esses valores foram convertidos em valores de massa neutra (Mr) e salvos no formato .txt, e então carregados no programa xBobcat [34], juntamente com a sequência primária da proteína, onde foram feitas as identificações dos sítios de modificação.

3.3. Cálculos *ab initio*

Os cálculos das estruturas eletrônicas dos três agentes de ligação cruzada foram realizados usando o programa Gaussian 03 [35]. A função de base usada para a descrição dos orbitais atômicos foi a 6-31g(d,p) empregando o método Hartree-Fock (HF) [36].

As estruturas dos ALC foram construídas com auxílio do programa Molden [37] e foram pré-otimizadas usando métodos semi-empíricos AM1 e PM3 [38–40]. As estruturas otimizadas obtidas pelos métodos semi-empíricos foram então otimizadas usando o nível HF/6-31g(d,p).

A partir das estruturas otimizadas foram determinadas as distâncias e os ângulos de equilíbrio, bem como a carga atômica, que foi computada usando o esquema de Merz-Singh-Kollman (MK) [41].

3.4. Simulações de Dinâmica Molecular

As simulações de dinâmica molecular são executadas partindo-se dos seguintes arquivos:

- PDB, o qual descreve as coordenadas dos átomos constituintes do sistema, obtidos a partir de banco de proteínas como *National Center for Biotechnology Information* (NCBI) e *Research Collaboratory for Structural Bioinformatics Protein Data Bank* (RCSB).
- Arquivo Topologia, no qual estão definidos os nomes e tipos dos átomos do sistema, ligações e as cargas atômicas.
- Arquivo Parâmetro, o qual descreve os comprimentos e ângulos de equilíbrios, constantes de estiramento, de deformação e diedros
- PSF, o qual reorganiza as informações descritas nos arquivos parâmetro e topologia, tornando-as legíveis ao programa que executará a simulação.
- Arquivo Configuração, o qual define todas as condições e parâmetros que serão usadas durante a simulação.

O desenvolvimento e preparação dos arquivos para a realização das simulações de dinâmica molecular dos ALC e da ubiquitina modificada foram desenvolvidos em colaboração com Professor Munir Salomão Skaf do Departamento de Físico-Química do Instituto de Química – UNICAMP e seu aluno de mestrado, Paulo Cesar Telles de Souza.

O programa NAMD [42] foi utilizado para execução das simulações e o programa VMD [43] para visualização das estruturas e análise dos sistemas simulados. Os arquivos de parâmetro e topologia (Campo de Força) desenvolvidos estão apresentados nos Anexos 7.1 e 7.2.

3.4.1. Simulação dos ALC

As dinâmicas moleculares dos ALC foram executadas a 298,15 K e 1 atm, em caixa de água de 42x42x42 Å, empregando condições periódicas de contorno, PME (*Particle Mesh Ewald*) e controle de temperatura e pressão [44]. Em um primeiro momento foi feita a minimização por 500 passos seguido da equilibração por 500.000 passos. O sistema equilibrado foi então simulado durante 1.500.000 passos. O tempo total de simulação foi de 4 ns.

3.4.2. Simulação das Ubq modificadas

O arquivo PDB da ubiquitina (Ubq), 1UBQ.pdb, caracterizada por DRX com resolução de 1,8 Å, foi obtido a partir do banco de proteínas NCBI. A partir dessa estrutura foram criadas três novas Ubq, modificadas nas lisinas 33, 11 e 29, pela substituição dos resíduos de lisina por resíduos de lisinas ligadas aos ALC. As dinâmicas moleculares das Ubq mutantes foram executadas a 298,15 K e 1 atm, em caixa de água de 70x70x70 Å, empregando condições periódicas de contorno, PME e controle de temperatura e pressão [44]. As simulações foram divididas em 4 etapas. Na primeira etapa, foram feitos 700 passos de minimização do solvente e do resíduo modificado, o restante do sistema foi mantido fixo. Na segunda etapa, foram feitos 500 passos de minimização do solvente e das cadeias laterais dos resíduos, mantendo-se a cadeia principal da proteína (*backbone*) fixa. Na terceira etapa, foram feitos 300 passos de minimização de todo o sistema, seguidos de 1.000.000 passos de equilibração e termalização do sistema. Por fim, o sistema foi simulado durante 1.500.000 passos. O tempo total de simulação foi de 4,5 ns.

4. Resultados e Discussão

4.1. Cálculo das Cargas Atômicas e determinação da constante da barreira rotacional do grupo NHS

As cargas atômicas dos ALC foram calculadas por três diferentes métodos, a partir das estruturas otimizadas livremente, otimizadas com diedros fixos e otimizadas por blocos.

Durante a otimização da estrutura livre, as moléculas assumiram conformações que apresentavam várias interações intramoleculares, o que resultou em um conjunto de cargas não representativas das cargas atômicas reais, mas sim da carga amenizada resultante dessas interações. Essas cargas amenizadas não refletem as cargas individuais de cada átomo e por isso partiu-se para outra abordagem para a obtenção das cargas atômicas.

Na segunda abordagem, realizou-se a otimização das moléculas dos ALC fixando-se os diedros das cadeias espaçadoras dos ALC (Figura 9), de maneira a restringir a torção das cadeias que resultaria no estabelecimento das interações intramoleculares, permitindo apenas a otimização das distâncias e ângulos interatônicos.

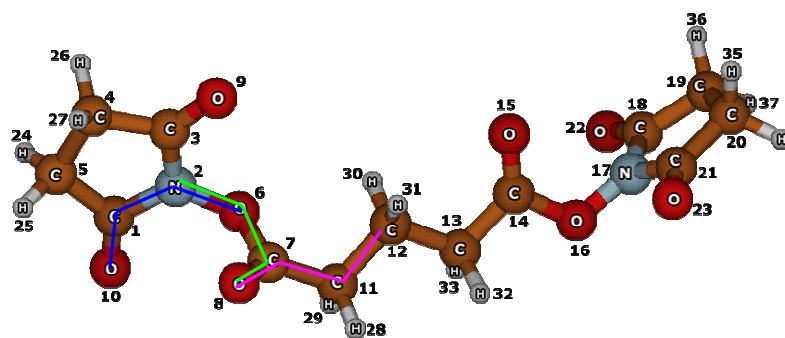


Figura 9: As linhas coloridas destacam os diedros que foram mantidos fixos (em ambos as extremidades dos ALC) durante a otimização da estrutura para posterior cálculo das cargas atômicas.

Outra abordagem realizada consistiu em separar as moléculas dos ALC em duas porções distintas, consistindo na cadeia espaçadora, contendo apenas átomos de carbono, oxigênio e hidrogênio, e no grupo NHS nas extremidades da cadeia, representada pela molécula de acetato de NHS. Estas porções foram independentemente otimizadas, garantindo-se a ausência de interações intramoleculares. As cargas atômicas correspondentes ao grupo NHS foram obtidas a partir do acetato de NHS enquanto que as cargas correspondentes aos átomos de carbono e hidrogênio no centro da cadeia foram obtidas da literatura [26] para hidrocarbonetos simples.

As cargas atômicas calculadas sobre as estruturas otimizadas pelos três métodos estão mostradas nas Tabelas 2, 3 e 4. Como pode ser observado, as cargas calculadas pela otimização livre apresentam uma alta assimetria entre átomos equivalentes do ALC, causadas pelas interações intramoleculares, além de apresentarem valores absolutos menores do que os calculados pelos dois outros métodos. Na otimização livre, a molécula do ALC assume uma conformação de forma a aproximar sítios de cargas opostas, minimizando a energia do sistema, o que gera a assimetria de cargas entre os átomos equivalentes e diminui a carga atômica calculada para os átomos individuais. Além disso, esse método de otimização resultou em uma maior discrepância das cargas atômicas de átomos equivalentes entre os 3 ALC estudados.

Para o método de otimização com diedros fixos, ainda foram observadas assimetrias causadas por pequenas interações intramoleculares. Já no método de otimização por blocos foi obtida boa uniformidade das cargas atômicas entre átomos equivalentes em um mesmo e em diferentes ALC, assim como um valor absoluto em geral maior, indicando a ausência de interferências causadas pelas interações intramoleculares. Essas características de simetria e valores absolutos mostraram que esse método resulta em estruturas eletrônicas mais adequadas para o cálculo das cargas atômicas dos ALC. De fato, os valores aqui obtidos possuem uma boa correspondência com os valores relatados na literatura para funções químicas semelhantes [45]. Por todas estas considerações, as cargas atômicas obtidas por esta abordagem foram utilizadas no desenvolvimento dos campos de força dos ALC.

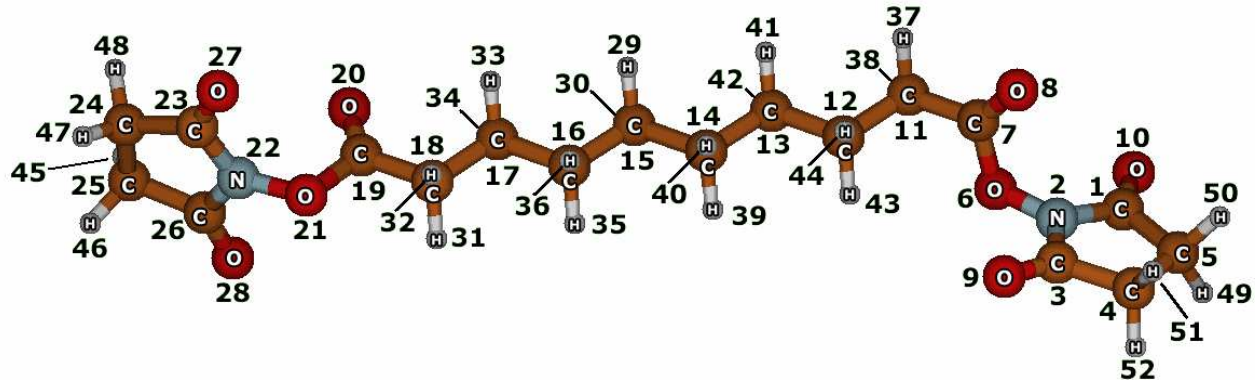


Figura 10: Estrutura do agente de ligação cruzada DSSeb.

Tabela 2: Cargas atômicas do DSSeb.

DSSeb							
Átomo	Otimização Livre	Otimização com Diedros Fixos	Otimização por Blocos	Átomo	Otimização Livre	Otimização com Diedros Fixos	Otimização por Blocos
C1	0.503148	0.508838	0.53105550	O27	-0.512526	-0.519284	-0.52012100
N2	0.112181	0.151928	0.07123800	O28	-0.518212	-0.519230	-0.52012100
C3	0.523435	0.508833	0.53105550	H29	0.007240	0.137318	0.09000000
C4	-0.217422	-0.258348	-0.21382450	H30	0.008755	0.134849	0.09000000
C5	-0.216727	-0.258042	-0.21382450	H31	0.127207	0.134637	0.17815100
O6	-0.421803	-0.500317	-0.43501900	H32	0.127489	0.131265	0.17815100
C7	0.888006	1.001328	0.94587700	H33	0.022174	0.120422	0.09000000
O8	-0.563055	-0.595136	-0.57224600	H34	0.023196	0.120540	0.09000000
O9	-0.540360	-0.518011	-0.52012100	H35	0.002625	0.131352	0.09000000
O10	-0.524312	-0.518036	-0.52012100	H36	0.005432	0.137244	0.09000000
C11	-0.483507	-0.430698	-0.41396100	H37	0.130595	0.127171	0.17815100
C12	0.142462	0.033129	-0.18000000	H38	0.153755	0.012306	0.17815100
C13	0.017072	0.126945	-0.18000000	H39	0.027230	0.012360	0.09000000
C14	-0.101286	-0.098046	-0.18000000	H40	0.023648	-0.020898	0.09000000
C15	-0.009139	-0.081270	-0.18000000	H41	0.017624	-0.020738	0.09000000
C16	0.042881	0.149057	-0.18000000	H42	0.013362	0.018811	0.09000000
C17	0.015048	0.023254	-0.18000000	H43	0.009397	0.018769	0.09000000
C18	-0.355593	-0.431966	-0.41396100	H44	0.012015	0.023416	0.09000000
C19	0.937261	1.001328	0.94587700	H45	0.138491	0.023255	0.11339725
O20	-0.587735	-0.600042	-0.57224600	H46	0.135626	-0.013881	0.11339725
O21	-0.517611	-0.501422	-0.43501900	H47	0.133271	-0.014003	0.11339725
N22	0.233999	0.147972	0.07123800	H48	0.139034	0.011626	0.11339725
C23	0.461869	0.508581	0.53105550	H49	0.115574	0.011704	0.11339725
C24	-0.253982	-0.242109	-0.21382450	H50	0.122267	0.134981	0.11339725
C25	-0.263326	-0.242512	-0.21382450	H51	0.121305	0.135223	0.11339725
C26	0.476515	0.508619	0.53105550	H52	0.115407	0.127270	0.11339725

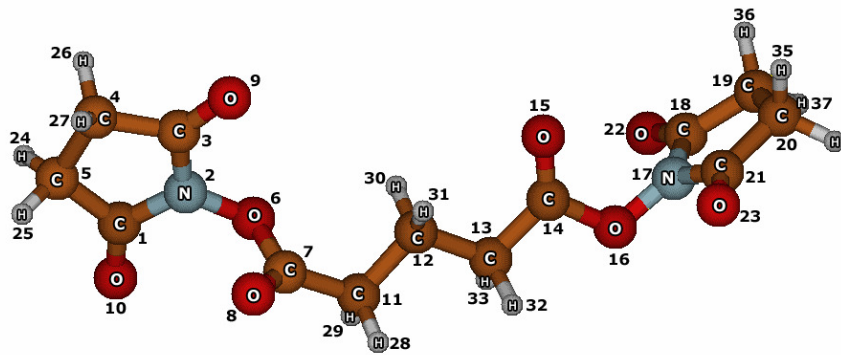


Figura 11: Estrutura do agente de ligação cruzada DSG.

Tabela 3: Cargas atômicas do DSG.

DSG							
Átomo	Otimização Livre	Otimização com Diedros Fixos	Otimização por Blocos	Átomo	Otimização Livre	Otimização com Diedros Fixos	Otimização por Blocos
C1	0.494668	0.505195	0.53105550	C20	-0.254543	-0.234765	-0.21382450
N2	0.181340	0.135295	0.07123800	C21	0.503615	0.469670	0.53105550
C3	0.494870	0.508014	0.53105550	O22	-0.578393	-0.515786	-0.52012100
C4	-0.236776	-0.213382	-0.21382450	O23	-0.572594	-0.515302	-0.52012100
C5	-0.237311	-0.239508	-0.21382450	H24	0.130966	0.122485	0.11339725
O6	-0.514447	-0.430148	-0.43501900	H25	0.130881	0.128823	0.11339725
C7	0.942597	0.849285	0.94587700	H26	0.119053	0.117469	0.11339725
O8	-0.514368	-0.553647	-0.57224600	H27	0.118984	0.122961	0.11339725
O9	-0.514126	-0.527825	-0.52012100	H28	0.113855	0.114583	0.17815100
O10	-0.508307	-0.524467	-0.52012100	H29	0.113771	0.141327	0.17815100
C11	-0.295527	-0.393247	-0.41396100	H30	0.024327	0.021184	0.09000000
C12	0.046822	0.182439	-0.18000000	H31	0.024282	0.026946	0.09000000
C13	-0.289639	-0.384505	-0.41396100	H32	0.114535	0.148195	0.17815100
C14	0.932028	0.903013	0.94587700	H33	0.114598	0.145859	0.17815100
O15	-0.515152	-0.574982	-0.57224600	H34	0.136869	0.126052	0.11339725
O16	-0.515373	-0.512193	-0.43501900	H35	0.125139	0.132314	0.11339725
N17	0.171546	0.228200	0.07123800	H36	0.136591	0.135755	0.11339725
C18	0.502722	0.477095	0.53105550	H37	0.125445	0.127883	0.11339725
C19	-0.252949	-0.250285	-0.21382450				

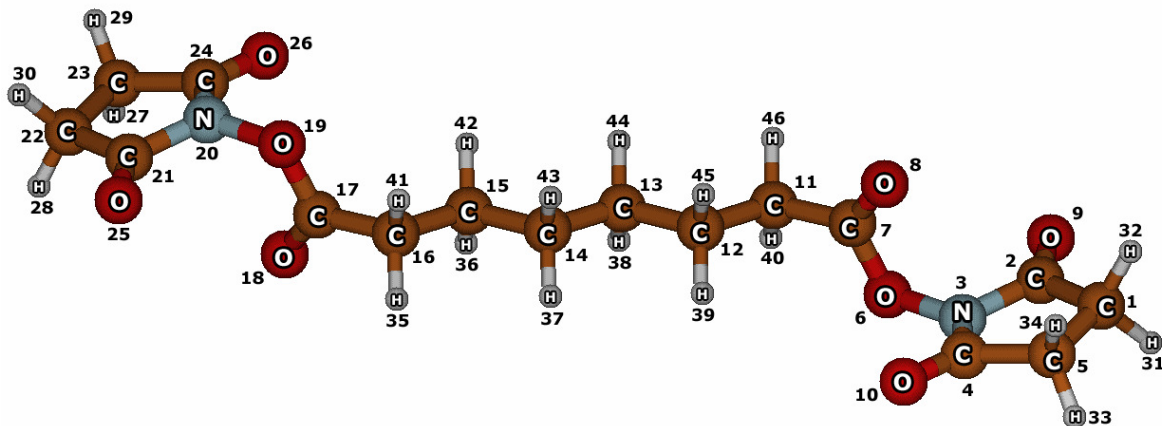


Figura 12: Estrutura do agente de ligação cruzada DSS.

Tabela 4: Cargas atômicas do DSS.

DSS							
Átomo	Otimização Livre	Otimização com Diedros Fixos	Otimização por Blocos	Átomo	Otimização Livre	Otimização com Diedros Fixos	Otimização por Blocos
C1	-0.126923	-0.351874	-0.21382450	C24	0.601722	0.782320	0.53105550
C2	0.597028	0.782272	0.53105550	O25	-0.518147	-0.546276	-0.52012100
N3	0.158070	0.182584	0.07123800	O26	-0.531079	-0.546276	-0.52012100
C4	0.597034	0.782272	0.53105550	H27	0.125354	0.188800	0.11339725
C5	-0.207694	-0.351874	-0.21382450	H28	0.117141	0.188800	0.11339725
O6	-0.351847	-0.485405	-0.43501900	H29	0.109462	0.188800	0.11339725
C7	0.934460	0.817094	0.94587700	H30	0.099004	0.188800	0.11339725
O8	-0.574887	-0.538232	-0.57224600	H31	0.086424	0.188800	0.11339725
O9	-0.515255	-0.548484	-0.52012100	H32	0.105387	0.188800	0.11339725
O10	-0.528782	-0.548389	-0.52012100	H33	0.104286	0.188800	0.11339725
C11	-0.545924	-0.328380	-0.41396100	H34	0.119537	0.188800	0.11339725
C12	-0.140269	-0.216210	-0.18000000	H35	0.159332	0.172319	0.17815100
C13	-0.078070	-0.221640	-0.18000000	H36	0.001044	0.127453	0.09000000
C14	-0.091156	-0.217205	-0.18000000	H37	0.046237	0.127453	0.09000000
C15	0.149193	-0.238572	-0.18000000	H38	0.047173	0.127453	0.09000000
C16	-0.549119	-0.328380	-0.41396100	H39	0.023842	0.127453	0.09000000
C17	0.936944	0.790502	0.94587700	H40	0.160771	0.172319	0.17815100
O18	-0.356667	-0.551456	-0.57224600	H41	0.162359	0.172319	0.17815100
O19	-0.149254	-0.474285	-0.43501900	H42	0.025400	0.127453	0.09000000
N20	0.172500	0.182748	0.07123800	H43	0.047589	0.127453	0.09000000
C21	0.601724	0.782320	0.53105550	H44	0.040979	0.127453	0.09000000
C22	-0.169104	-0.352375	-0.21382450	H45	0.005772	0.127453	0.09000000
C23	-0.574354	-0.352375	-0.21382450	H46	0.159441	0.172319	0.17815100

As constantes da barreira rotacional do grupo NHS foram obtidas varrendo o ângulo diedro correspondente (Figura 13) e computando a energia eletrônica em cada passo. Obteve-se um perfil simétrico, com fase de 180°, como esperado, e com uma barreira de rotação de 20 kcal/mol.

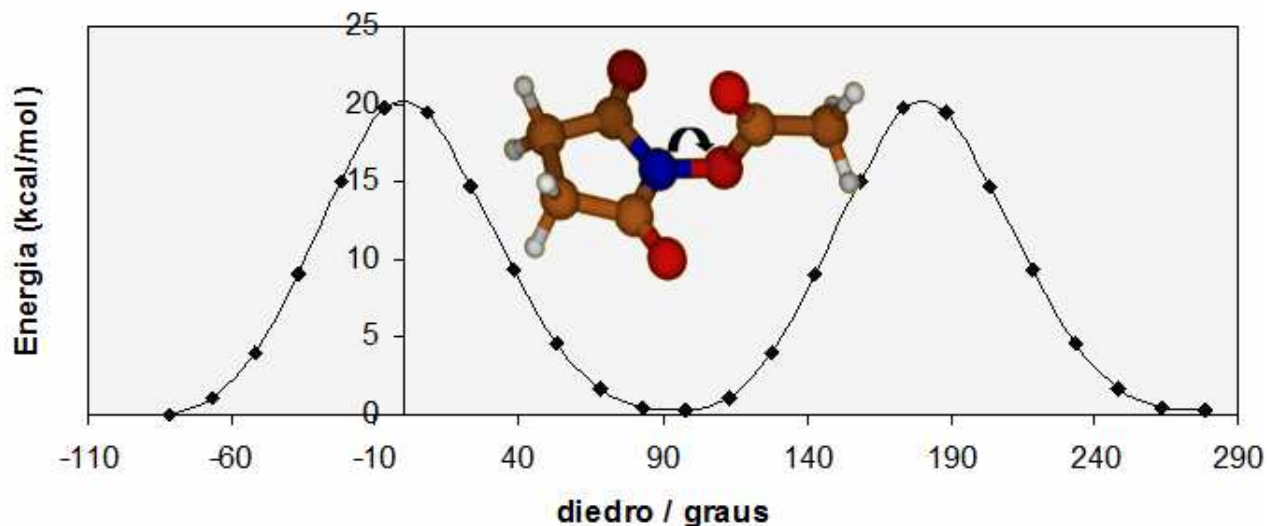


Figura 13: Varredura do diedro entre os átomos C-N-O-C do grupo NHS.

A energia térmica de um sistema a temperatura ambiente é da ordem de 0,6 kcal (~kT) [25], dessa forma, uma barreira rotacional de 20 kcal/mol representa uma energia intransponível a 298,15 K. Portanto, nestas condições, a rotação do grupo NHS em torno da ligação N—O é praticamente nula, e pouco influencia na propriedade que se deseja medir, isto é, as distâncias cobertas pelas cadeias espaçadoras dos ALC em solução.

Assim, a partir dos cálculos das cargas atômicas realizados, da otimização das estruturas dos ALC, das quais se obteve as distâncias e os ângulos de equilíbrio, e da determinação da energia da barreira rotacional, foram obtidos os parâmetros fundamentais para os estudos de dinâmica molecular, a partir dos quais foram construídos os arquivos de parâmetro e topologia, mostrados nos Anexos 7.1 e 7.2. Estes arquivos contêm todas as informações estruturais

pertinentes relacionadas às propriedades físicas dos ALC. Uma vez estabelecidos a parametrização dessas moléculas, foram iniciados os estudos de dinâmica molecular.

4.2. Simulações de Dinâmica Molecular

4.2.1 Determinação das faixas de distância dos ALC solvatados

As simulações dos ALC foram executadas em duas etapas conforme descrito no item 2.4.1. Ao final das simulações, mediu-se as distâncias acessadas pelas cadeias espaçadoras dos ALC em função do tempo, que estão mostrados na Figura 14, na forma de histogramas. Estas distâncias foram medidas entre os oxigênios do grupo éster do NHS, uma vez que estes serão substituídos pelo nitrogênio das lisinas quando se proceder a ligação cruzada.

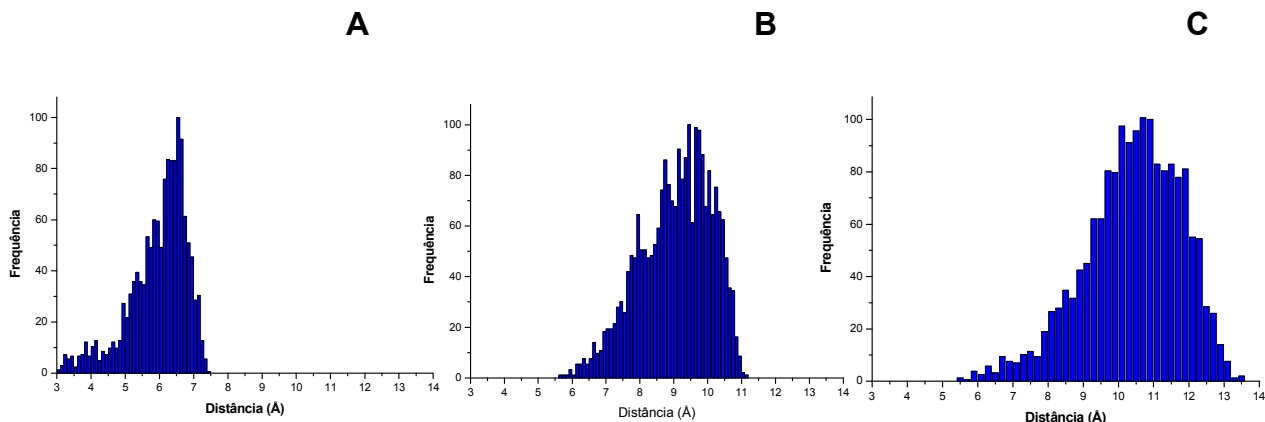


Figura 14: Histogramas das distâncias da cadeia espaçadora dos ALC livre em solução:
A - DSG, B – DSS e C – DSSeb.

Os limites inferiores e superiores das faixas de distâncias dos ALC foram determinados considerando-se uma frequência relativa mínima em relação à moda (distância de maior contagem) de 10%. A comparação entre as faixas de distâncias obtidas, bem como as demais informações disponíveis na literatura para estes reagentes, está mostrada na Tabela 5.

Tabela 5: Faixas de alcance dos ALC considerando uma freqüência relativa mínima de 10% .

ALC	Método	Faixa de Distância (Å)	Moda (Å)
DSG	Dinâmica	4,3 - 7,4	6,6
	Literatura	7,7	7,7
	<i>Green et al [46]</i>	3,1 - 7,6	6,4
DSS	Dinâmica	6,8 - 10,9	9,5
	Literatura	11,4	11,4
	<i>Green et al [46]</i>	5,6 - 11,4	9,2
DSSeb	Dinâmica	6,8 - 12,8	10,8
	Literatura	13,0	13,0

A tabela 5 também mostra as faixas de distâncias obtidas por *Green et al [46]*. Comparando estas faixas com as obtidas nestes estudos, constata-se que as faixas de distância propostas por *Green et al* são significativamente maiores do que as calculadas aqui (cerca de 40%). Esta diferença é atribuída a dois fatores:

- a) No trabalho de Green, os valores extremos foram obtidos sem nenhuma análise estatística, sendo relatados apenas o maior e menor valores amostrados (Figura 15B). Se não considerarmos uma freqüência mínima para os nossos dados, os valores obtidos seriam de 3,3 – 7,4 e 5,9 – 11,0 Å, para o DSG e o DSS, respectivamente.
- b) As distâncias medidas no trabalho de Green foram obtidas entre os nitrogênios no anel da NHS e não do oxigênio do éster de NHS, levando à obtenção de distâncias não condizentes com o mecanismo de reação dos ALC (Figura 15A).

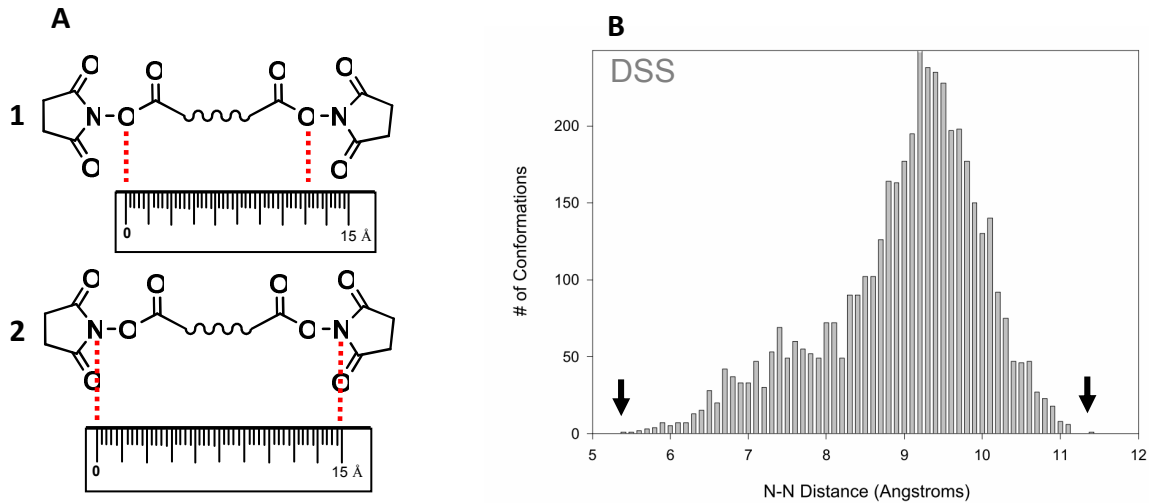


Figura 15: A – Diferença na determinação das faixas de distância para o DSG e DSS, feitas em nosso estudo (1) e por Green et al [46] (2). B – Limites inferior e superior relatados por Green et al [46] não foram estatisticamente analisados.

Comparando-se também as faixas de distâncias e modas aqui apresentadas, com os valores relatados pela literatura [47-48] ($DSG=7,7 \text{ \AA}$, $DSS=11,4 \text{ \AA}$ e $DSSeb=13,0 \text{ \AA}$), fica claro que valores únicos não descrevem adequadamente o alcance e flexibilidade associados aos ALC. Além disso, tais valores superestimam o alcance dos ALC, pois são medidos considerando a conformação totalmente estendida da cadeia, que é uma das conformações de menor probabilidade de ocorrência. Além disso, há valores mínimos de distância que podem ser alcançados pelos ALC, valores estes não considerados em todos os trabalhos da literatura.

4.2.3. Faixas de distância dos ALC parcialmente ligados

Uma vez que a reação de ligação cruzada ocorre em duas etapas, ligação da primeira lisina seguida da ligação da segunda, é importante avaliar o comportamento do ALC após o primeiro passo, quando o ALC está ligado a somente uma lisina na superfície da proteína. Esta é a condição mais próxima da situação experimental para avaliação da dinâmica do ALC. Neste ambiente, os vários resíduos de aminoácidos nas vizinhanças do ALC irão interagir com sua cadeia alterando a dinâmica do ALC.

Com o objetivo de avaliar o comportamento do ALC parcialmente ligado a uma proteína, foi selecionada a Ubq para o ancoramento desses ALC já que esta proteína é um bom modelo para estudos de dinâmica, por ser pequena e estruturalmente bem caracterizada. Para tanto foram adicionados aos arquivos de parâmetro e topologia resíduos de lisina ligados a DSG, DSS e DSSeb com um éster de NHS na outra ponta da molécula, simulando a primeira etapa da reação de ligação cruzada.

Utilizando o programa VMD foram criadas novas Ubq's contendo a substituição das lisinas 33, 11 e 29 (lisinas passíveis de sofrerem ligação cruzada, veja item 4.3.2.) pelas lisinas modificadas com ALC. Estas Ubq's foram então simuladas como descrito no item 2.4.2. Ao final, foram determinadas as distâncias acessadas pelas cadeias espaçadoras dos ALC (Figuras 16-18).

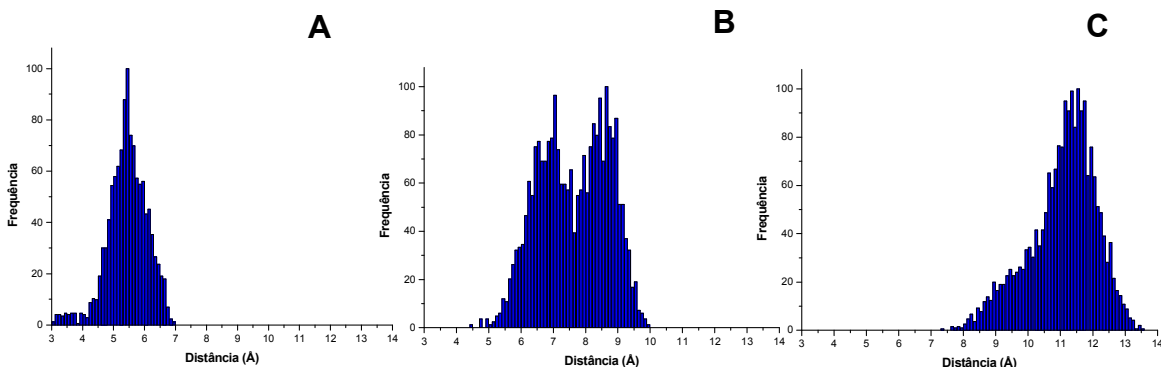


Figura 16: Histogramas dos comprimentos das cadeias espaçadoras: A - DSG, B -DSS e C - DSSeb parcialmente ligados a lisina 33 da Ubq.

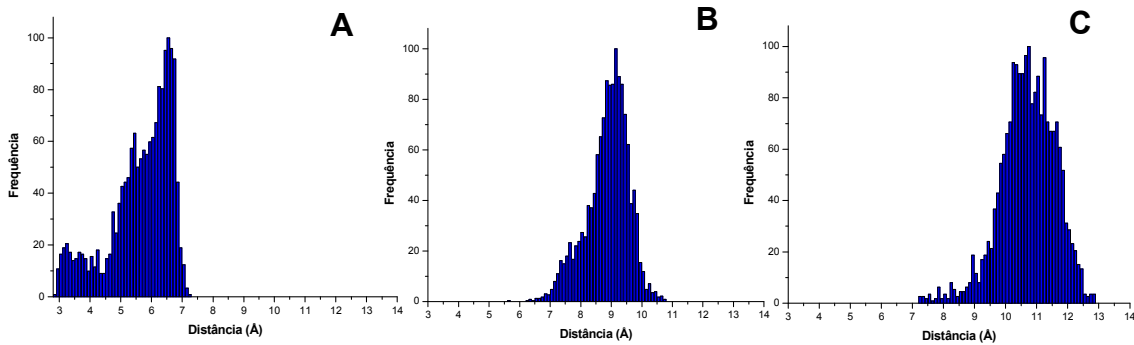


Figura 17: Histogramas dos comprimentos das cadeias espaçadoras: A - DSG, B -DSS e C - DSSeb parcialmente ligados a lisina 11 da Ubq.

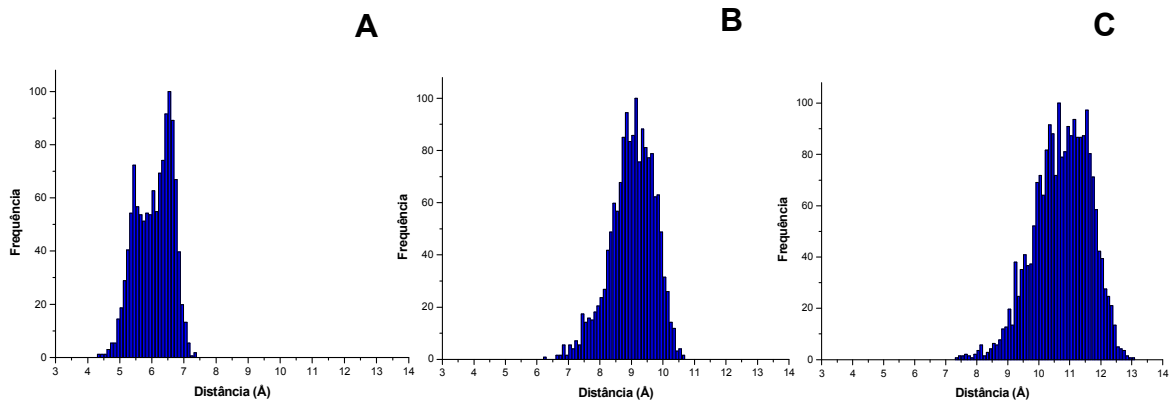


Figura 18: Histogramas dos comprimentos das cadeias espaçadoras: A - DSG, B -DSS e C - DSSeb parcialmente ligados a lisina 29 da Ubq.

Estes resultados mostram que, quando ligado à superfície da proteína, o comportamento do ALC é alterado pelo ambiente químico ao qual está submetido, devido a interações estabelecidas entre o ALC e resíduos de aminoácidos vizinhos.

Com relação aos perfis dos histogramas, a principal diferença observada foi quanto ao DSS ligado a lisina 33, que apresentou um claro perfil bimodal quando ligado à lisina 33. Uma análise mais cuidadosa da simulação revelou que a formação da gaussiana centrada em 8,6 Å é devido a uma ligação de hidrogênio

entre a carbonila do NHS e o hidrogênio do grupo amina do resíduo treonina (THR) 12 (Figura 19-A). Esta interação fixa a cadeia do DSS em conformações relacionada à distância da CE em torno de 8,6 Å durante grande parte da simulação. Já a moda relacionada à gaussiana centrada em torno de 7,0 Å está relacionada a uma barreira estérica promovida pelos resíduos vizinhos à lisina 33, que impedem o estiramento total da CE do DSS, fazendo com que esta permaneça dobrada durante grande parte da simulação (Figura 19-B).

Ainda com relação ao perfil dos histogramas, para o DSG ligado a lisina 29, observa-se um perfil bimodal mais acentuado, no entanto, a análise da simulação não permitiu definir interações específicas únicas que fossem responsáveis por este comportamento.

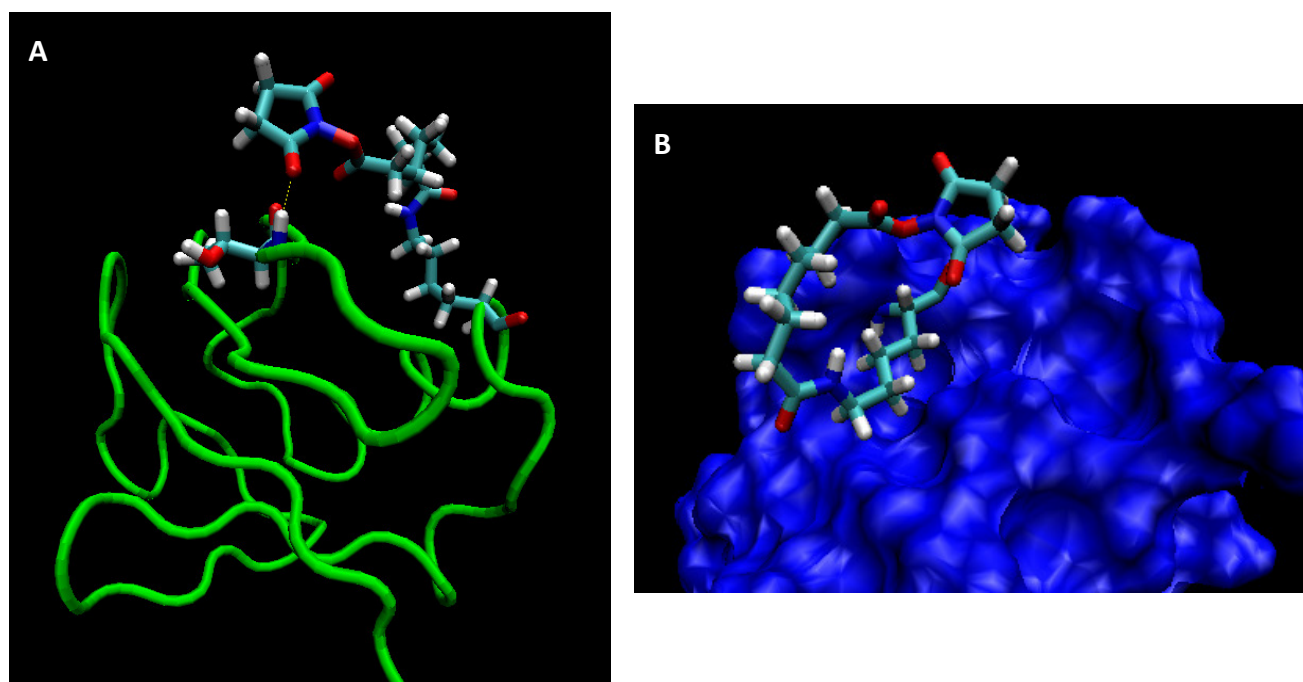


Figura 19: A – Interação entre o DSS e o resíduo treonina 12 relacionado à gaussiana em torno de 8,6 Å. B – Em destaque, a barreira estérica formada pelos resíduos ao redor da lisina 33 a qual o DSS está ligado, que impede um maior estiramento da cadeia espaçadora do ALC.

Já com relação às faixas de distâncias dos ALC livres e parcialmente ligados, os resultados obtidos para cada ALC estão mostrados nas Figuras 20-22.

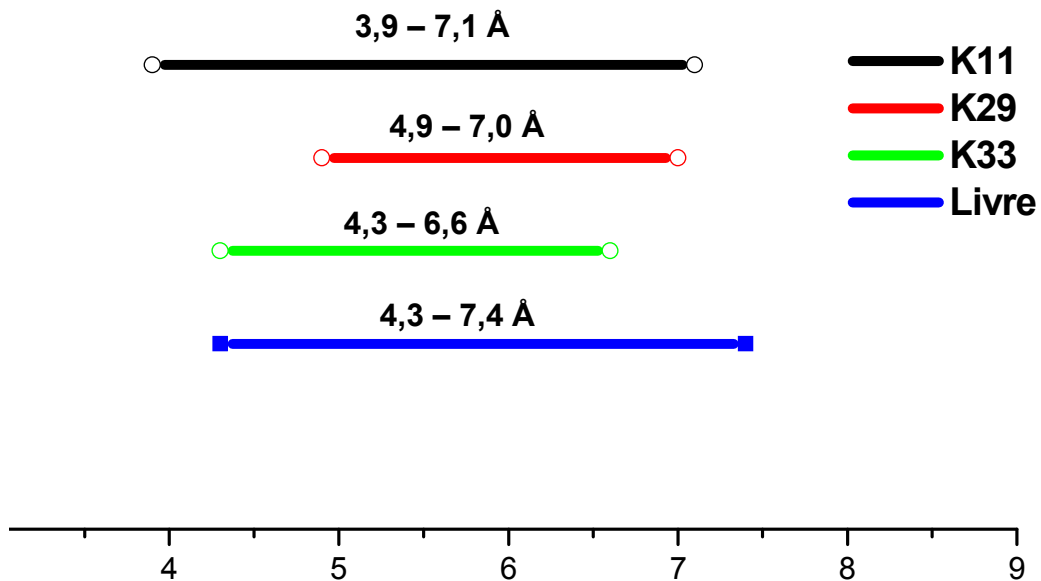


Figura 20: Faixas de distâncias (medida em \AA) do DSG livre e parcialmente ligado as lisinas 33, 11 e 29 da Ubq.

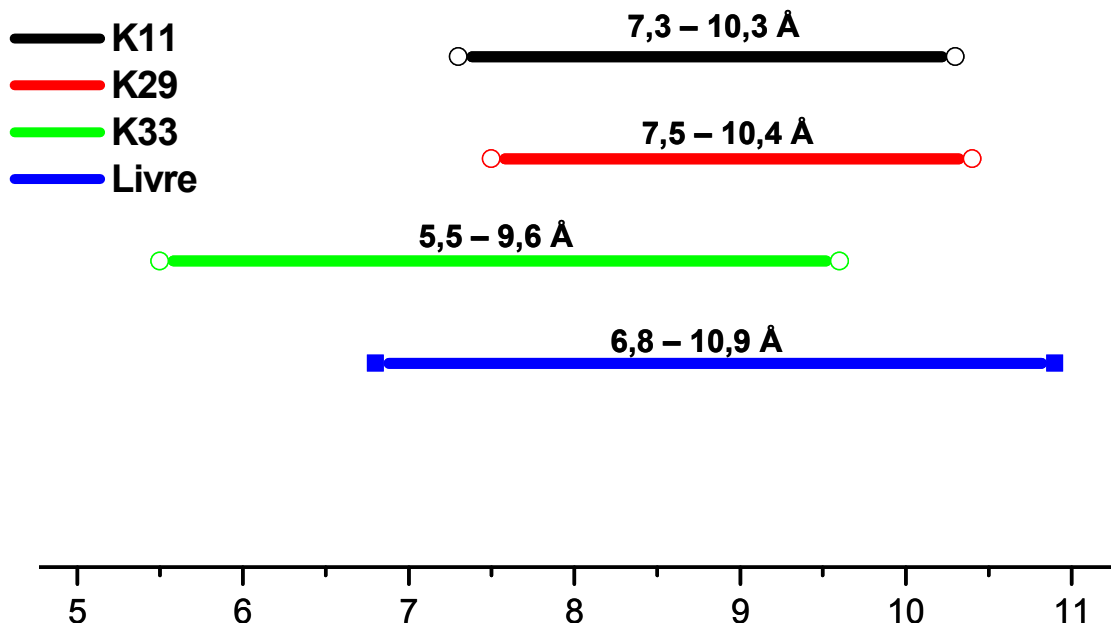


Figura 21: Faixas de distâncias (medida em \AA) do DSS livre e parcialmente ligado as lisinas 33, 11 e 29 da Ubq.

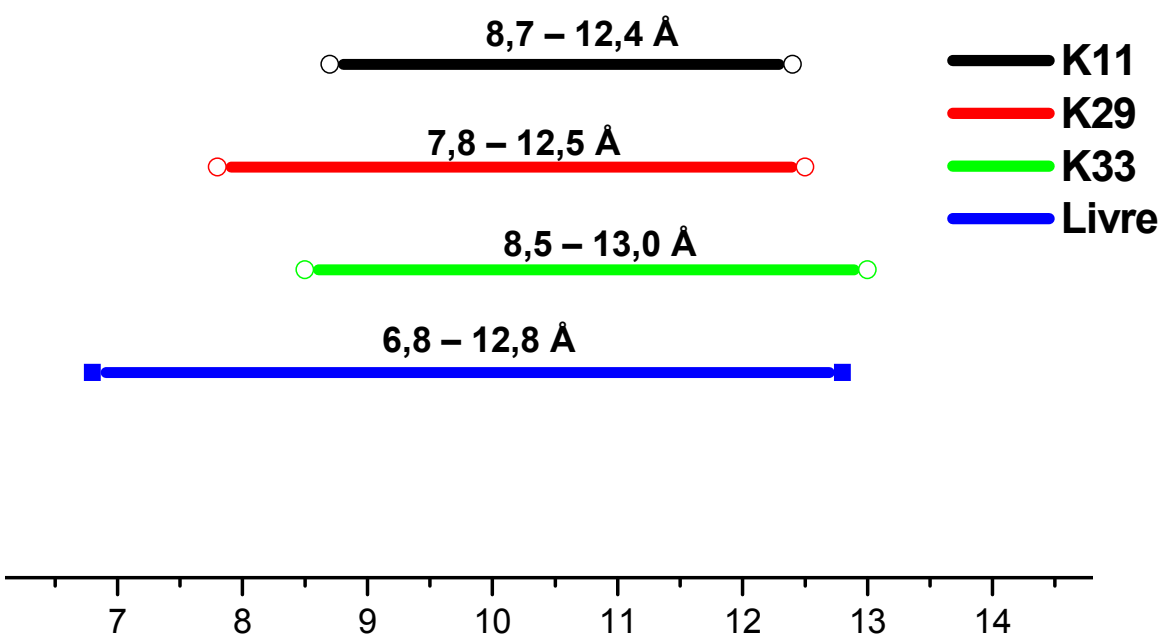


Figura 22: Faixas de distâncias (medida em Å) do DSSeb livre e parcialmente ligado as lisinas 33, 11 e 29 da Ubq.

De acordo com estes resultados, constata-se que o ambiente químico ao qual o ALC está submetido quando parcialmente ligado a uma lisina altera tanto a dinâmica do ALC quanto as faixas de distância amostradas pelas CE. Para as faixas de distância do DSG, as principais mudanças observadas ocorreram quando o agente foi ligado às lisinas 29 e 33. Em ambos os casos, ocorreu uma diminuição na cobertura das faixas com relação ao ALC livre. Já quando ligado a lisina 11, não foi observada mudança significativa da faixa de distância. Para o DSS, quando ligado as lisinas 11 e 29, o agente apresentou comportamentos semelhantes e faixas de distâncias muito parecidas. Em ambos os casos, a principal diferença com relação ao agente livre ocorreu nos limites inferiores, que foram deslocados para maiores valores, diminuindo a cobertura das faixas nestes casos. Já quando ligado a lisina 33, a faixa de distância do DSS foi deslocada para menores valores, diminuindo a probabilidade de formação de ligações cruzadas entre lisinas cujas distâncias entre si são maiores que 9 Å.

Por fim, para o DSSeb, em todos os casos, quando parcialmente ligado foi observado o deslocamento dos limites inferiores para maiores valores de distância, resultando em um encurtamento das faixas nas três posições.

De maneira geral, verificou-se que as faixas de distâncias amostradas pelas CE dos ALC tornam-se mais restritas quando estes se ligam a uma lisina posicionada na superfície da proteína devido às interações estabelecidas entre os ALC e os resíduos vizinhos.

4.3. Experimentos ALC + MS

4.3.1. Análise das proteínas intactas modificadas: Número de modificações/proteína

Esta etapa do projeto foi iniciada com estudos para a determinação do número aproximado de modificações nas proteínas, como função da concentração dos ALC empregada nos experimentos de ligação cruzada.

Há a hipótese de que um número excessivo de modificações poderia causar distorções na geometria da estrutura nativa das proteínas, alterando as distâncias entre os resíduos na estrutura nativa. Por outro lado, há vários relatos que mostram que a presença de algumas ligações cruzadas não só mantém a atividade de enzimas como também aumentam sua estabilidade [49].

Há, portanto, a necessidade de se controlar a quantidade de moléculas de ALC ligadas à proteína para evitar artefatos na técnica. Por outro lado, um dos maiores desafios relacionados à metodologia ALC+MS, consiste na detecção dos peptídeos modificados, já que estes estão em concentrações subestequiométricas em relação aos peptídeos não modificados.

Um levantamento bibliográfico realizado durante o desenvolvimento dos experimentos de ligação cruzada, revelou que, de maneira geral, a proporção molar de 1:10 (proteína:ALC) é comumente utilizada nos experimentos de ligação cruzada e análise dos peptídeos por MS. Em casos nos quais se pretende estudar proteínas muito grandes (>30 kDa) ou complexos protéticos, são usadas proporções da ordem de 1:50-100 (proteína:ALC). Com base nesses dados, foram realizados experimentos de ligação cruzada empregando a Ubq e o ALC, DSS, nas proporções 1:5, 1:10, 1:20 e 1:50 (Ubq:DSS), com o objetivo de se avaliar a proporção mais adequada para a execução dos demais experimentos de ligação cruzada.

A Figura 23 mostra os espectros de massa das proteínas Ubq, CytC e Mb intactas, selecionadas para a otimização dos experimentos de ligação cruzada. Estes espectros apresentam um conjunto de sinais característicos de proteínas, em torno da m/z 1000. Cada um destes sinais representa a mesma espécie com diferentes estados de carga, sendo que as espécies com maior número de cargas estão à esquerda da m/z 1000 e as de menor número de carga à direita.

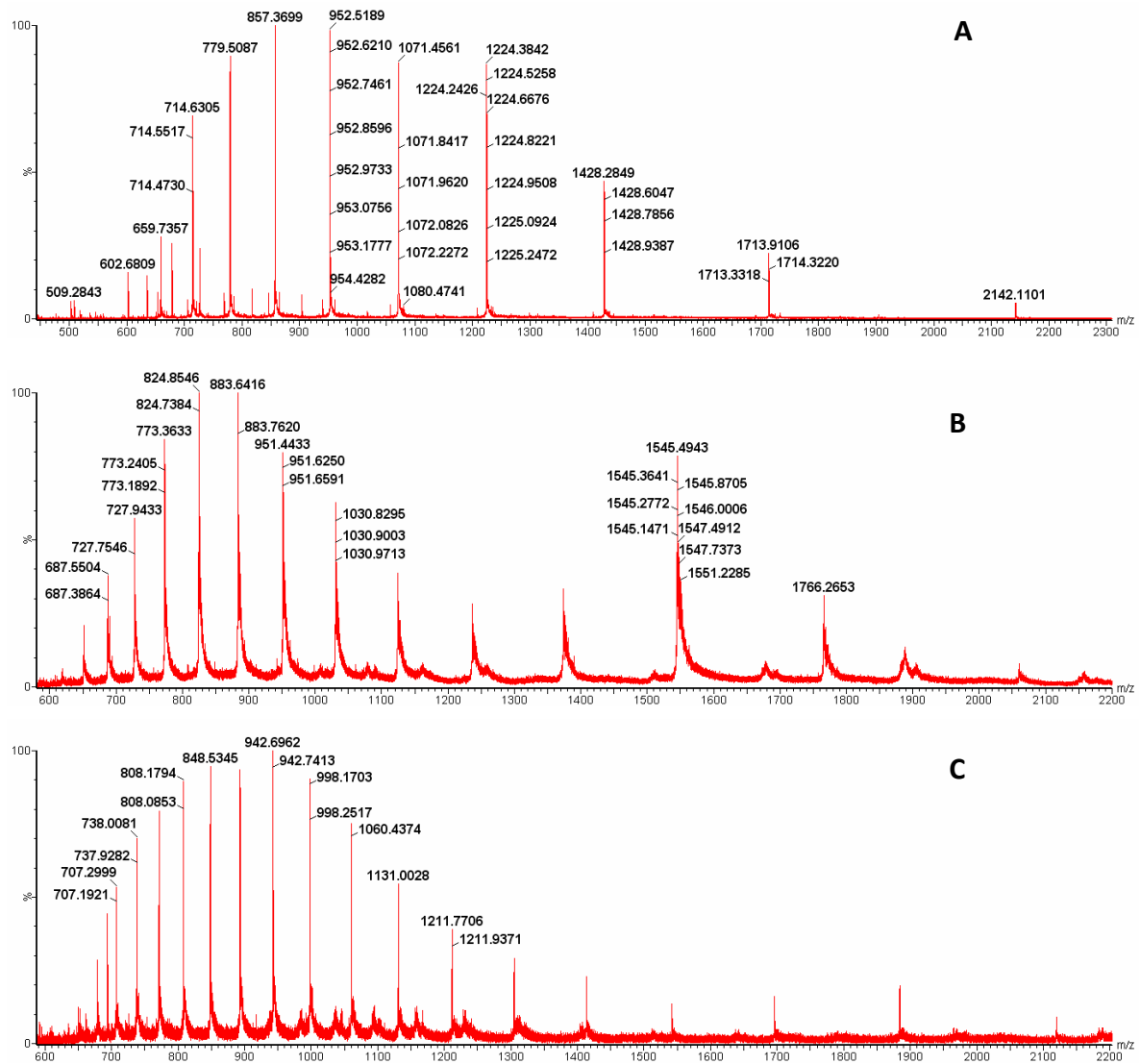


Figura 23: Espectros de Massa das proteínas intactas (não modificadas) A – Ubq, B – CytC e C – Mb.

Após a reação com os ALC observa-se uma alteração bastante significativa na intensidade e variedade destes sinais, como pode ser observado na Figura 24, onde estão mostrados os sinais do CytC após reação com DSS, nas proporções A - 1:10, B - 1:20 e C - 1:50 (CytC:DSS).

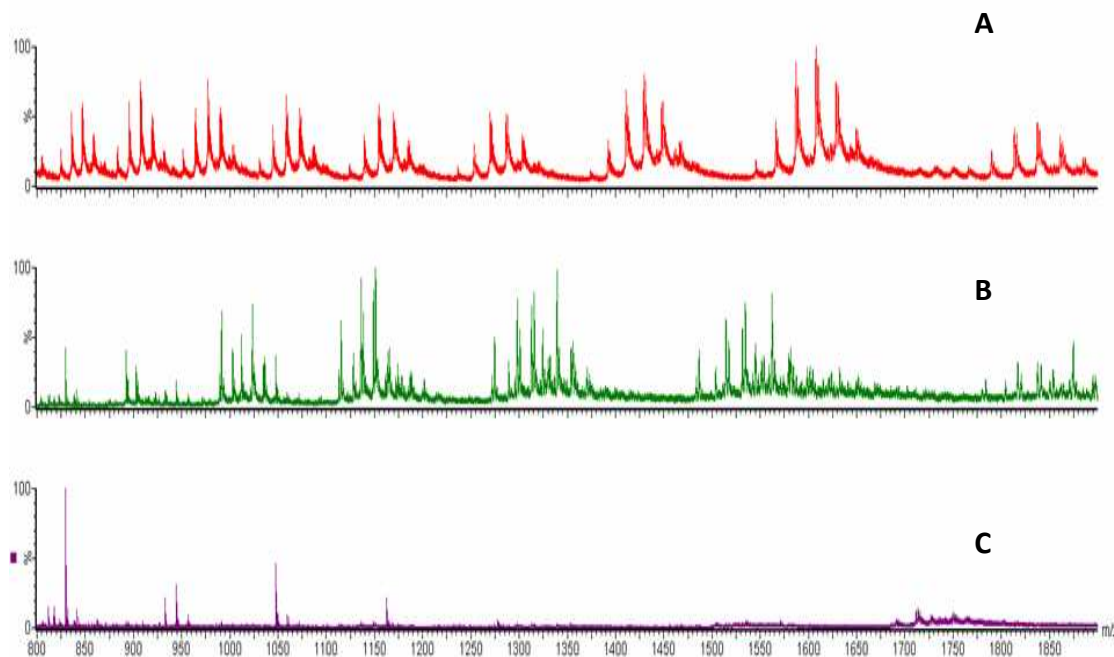


Figura 24: Espectros de massa da Ubq após reação com ALC, nas proporções A – 1:10, B – 1:20 e C – 1:50 (CytC:DSS).

De fato, o que se observa é uma queda acentuada na intensidade dos sinais com relação às proteínas intactas. Isto ocorre, pois cada espécie gera um sinal distinto, e, dessa forma, o sinal total da proteína é diluído entre muitas espécies, ocorrendo uma grande diminuição da intensidade absoluta de cada sinal. Essa baixa relação sinal/ruído dificulta a interpretação dos espectros obtidos e suas respectivas deconvoluções, fato que restringe o uso de altas concentrações de ALC para experimentos envolvendo proteína de baixa massa molecular.

A partir da deconvolução dos espectros de massa da Ubq intacta e modificadas com DSS, utilizando o programa MAXent1, as massas da proteínas contendo diferentes número de modificações foram determinadas (Figura 25). A partir das variações de massa (Δm) associadas a cada modificação (Tabela 1), foi feita atribuição do número de modificações para cada proporção de DSS testada.

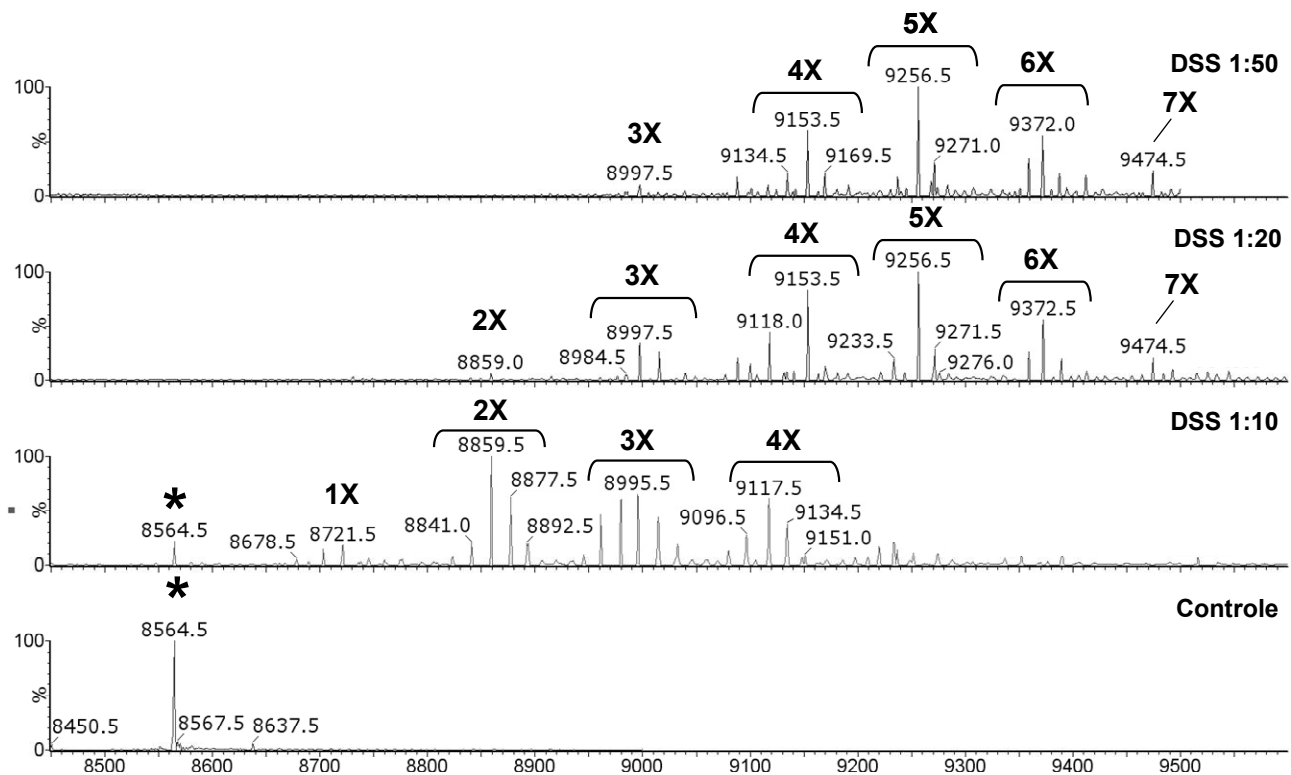


Figura 25: Espécies detectadas pela análise por LC-MS da Ubq intacta – Controle, e dos produtos de reação de ligação cruzada com DSS nas proporções 1:10 , 20 e 50 Ubx:DSS.

De acordo com a Figura 25, para as proporções 1:20 e 1:50 não há diferenças significativas no números de modificações. A principal diferença observada está na intensidade absoluta dos sinais, sendo que a proporção 1:50 resultou em sinais menos intensos, em termos absolutos, do que a proporção 1:20.

A Figura 26 apresenta o número de modificações detectadas para cada proporção testada.

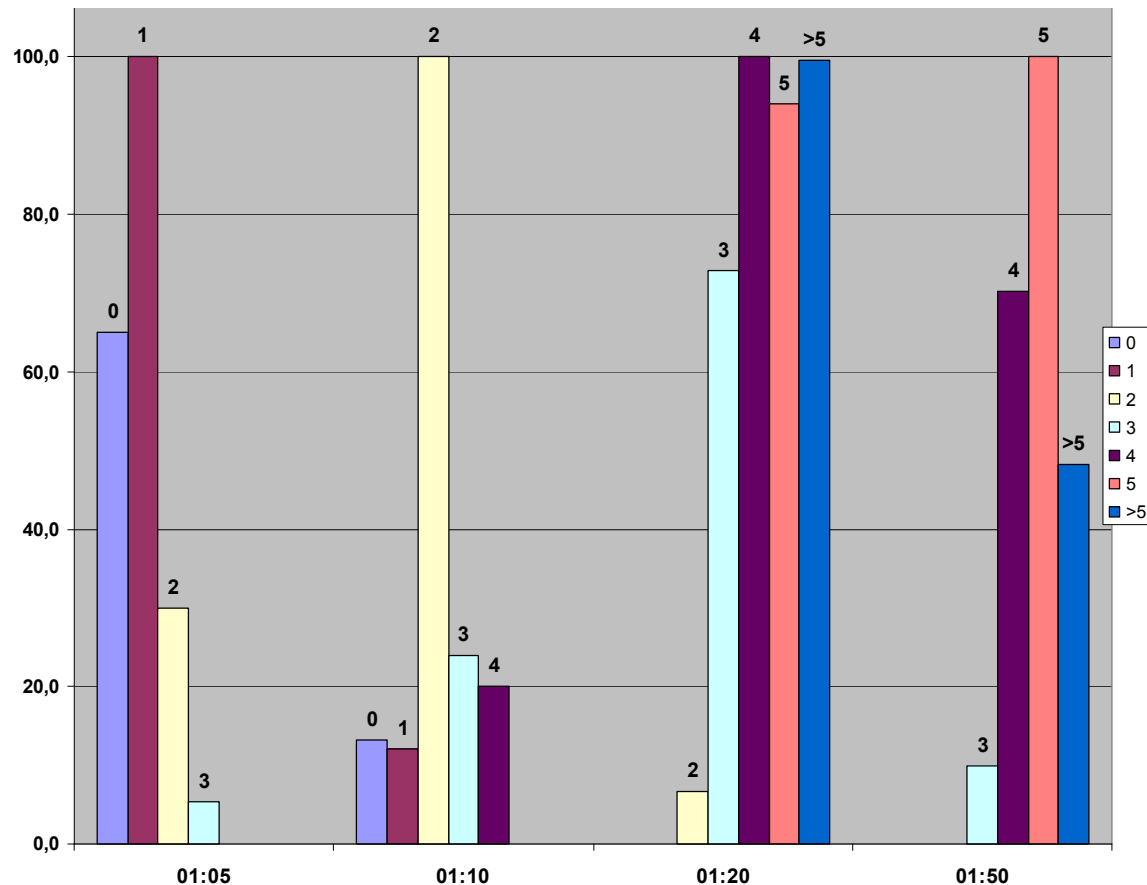


Figura 26: Número de modificações observado para as proporções molares 1:05, 1:10, 1:20 e 1:50, Ubq:DSS.

A partir da Figura 26, observa-se que as razões 1:20 e 1:50 levam a formação de cinco modificações por proteínas, em média, enquanto que as proporções 1:5 e 1:10 levam a formação de uma e duas modificações por proteína, em média, respectivamente. Considerando as dificuldades aqui relatadas para análise das espécies reagidas com altas concentrações de ALC e o fato de que poucas modificações dificultam a identificação dos resíduos modificados, optou-se pela proporção 1:10 para a realização dos demais experimentos de

ligação cruzada propostos neste estudo, já que esta condição apresenta o melhor compromisso entre detectabilidade e um número excessivo de modificações por proteínas.

A seguir são mostrados os espectros dos produtos de reação de ligação cruzada dos ALC, DSG, DSS e DSSeb na proporção 1:10 com a Ubq, CytC e Mb (Figuras 27-29) . Nesses estão atribuídos o número de modificações detectadas para cada ALC.

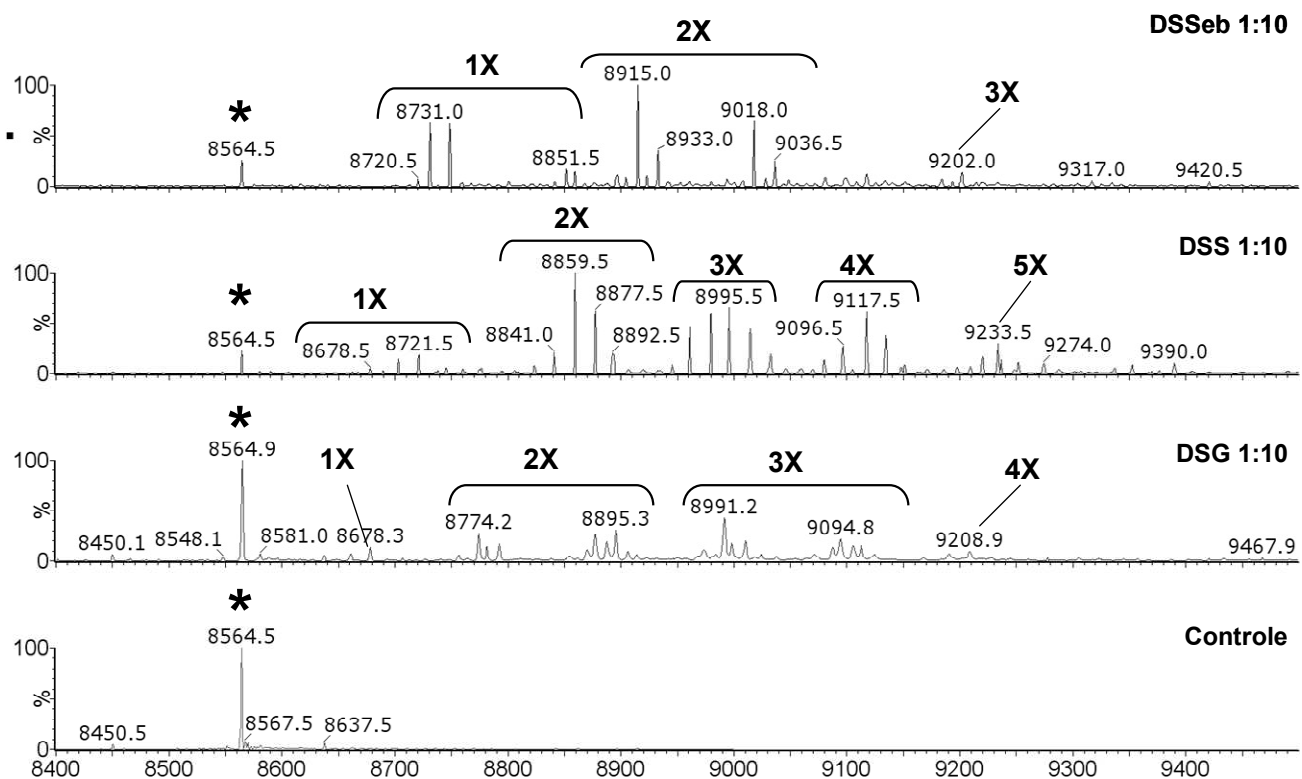


Figura 27: Espécies detectadas pela análise por LC-MS da Ubq intacta – Controle, e dos produtos de reação de ligação cruzada na proporção molar 1:10, Ubq:ALC.

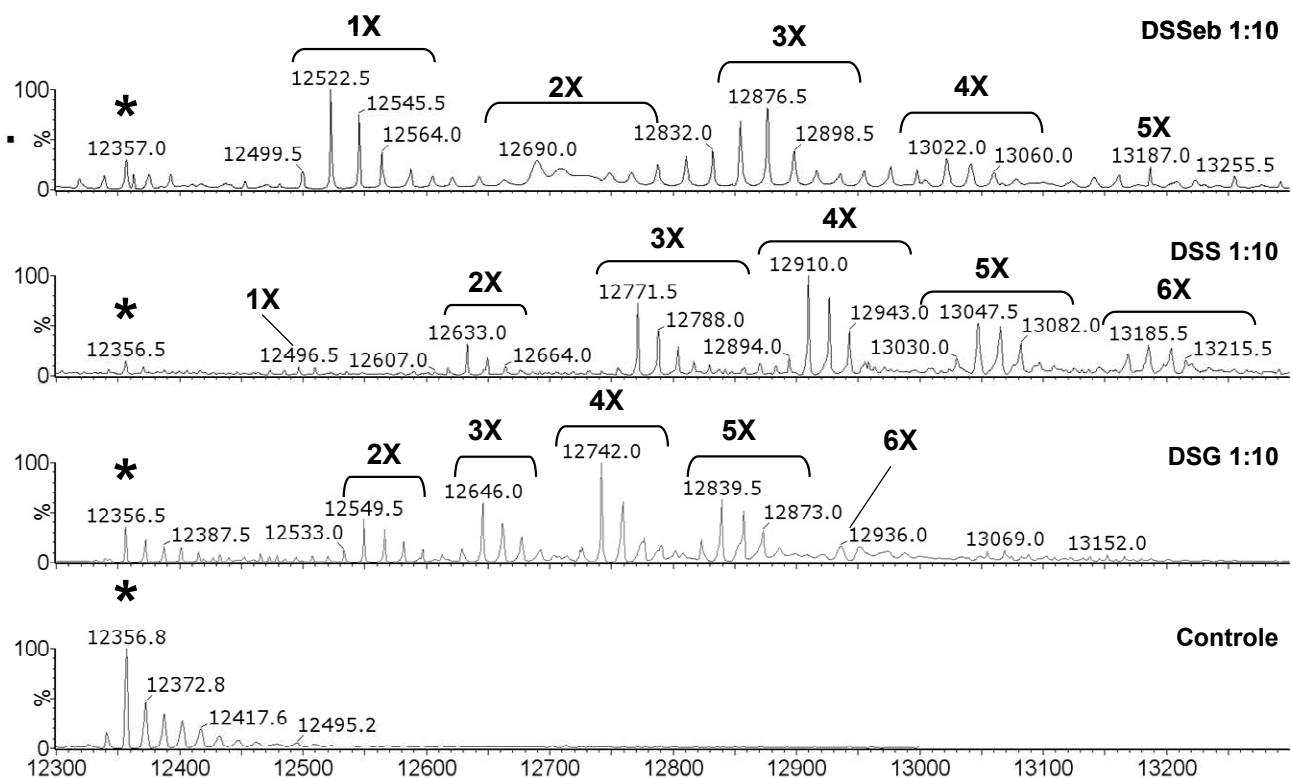


Figura 28: Espécies detectadas pela análise por LC-MS do CytC intacto – Controle, e dos produtos de reação de ligação cruzada na proporção molar 1:10, CytC:ALC.

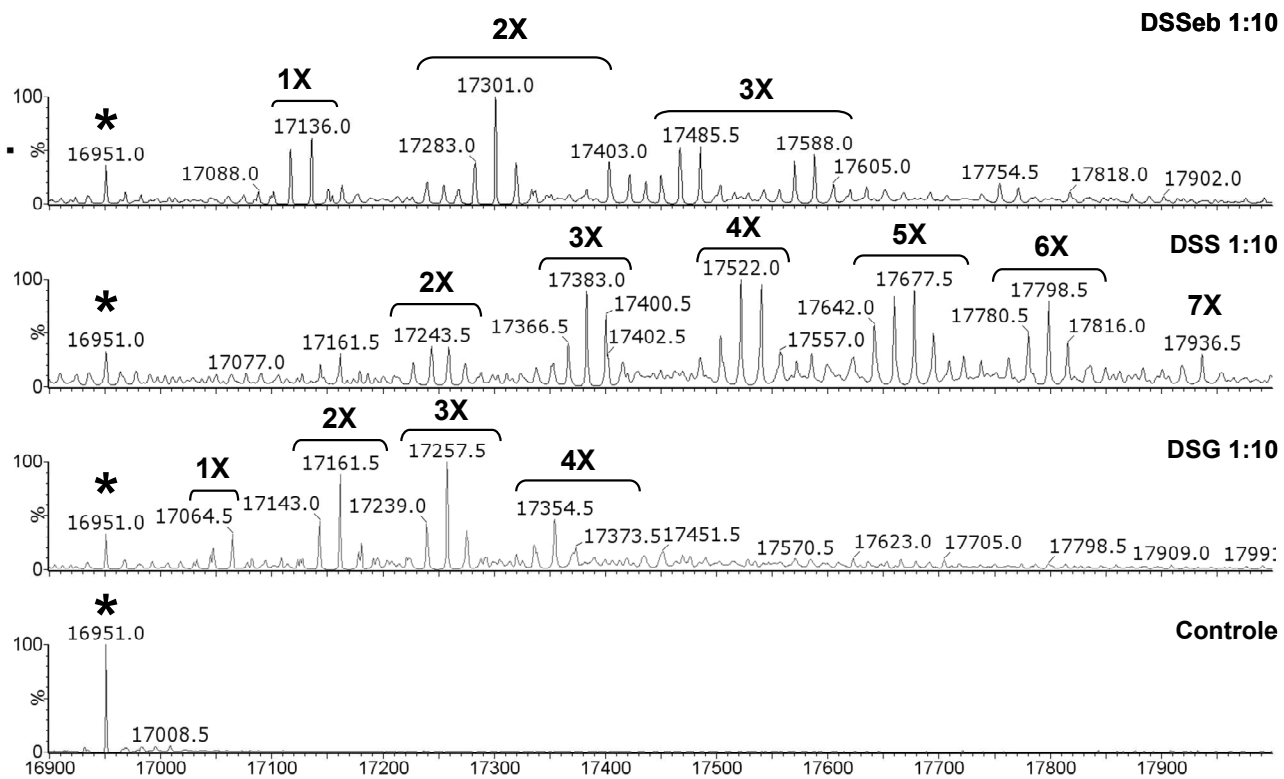


Figura 29: Espécies detectadas pela análise por LC-MS da q intacta – Controle, e dos Mbprodutos de reação de ligação cruzada na proporção molar 1:10, Mb:ALC.

A análise dos espectros revela que a proporção 1:10 foi adequada para todos os ALC e proteínas. Além disso, observa-se que, de maneira geral, o DSS apresentou melhor rendimento de reação do que os demais ALC utilizados, o que significa dizer que, para o DSS, houve maior número de modificações por proteína e sinais absolutos mais intensos. Em um primeiro momento, este resultado é inesperado já que o DSSeb cobre uma faixa de distância maior do que o DSS, ou seja, seria esperado que o DSSeb ligasse os mesmos pares que o DSS além de pares mais distantes entre si, não ligáveis pelo DSS. No entanto, devido a menor polaridade do DSSeb (maior número de grupos metil na CE) em relação ao DSS, o DSSeb apresenta menor solubilidade, o que pode ter diminuído a quantidade de DSSeb livre em solução para a reação, diminuindo a rendimento de reação.

4.3.2. Mapeamento dos resíduos de lisina da Ubq

O mapeamento das distâncias dos resíduos de lisina da Ubq foi realizado a partir de dados estruturais de RMN. Ao contrário dos dados de cristalografia, os modelos de RMN permitem inferir a dinâmica da proteína e, por isso apresentam um retrato potencialmente mais fiel das distâncias dos resíduos, permitindo avaliar os movimentos das cadeias laterais dos resíduos, em especial dos resíduos de lisina, principais alvos desse estudo. O arquivo contendo a estruturas experimentais de RMN da Ubq foi obtido do banco de estruturas de proteínas NCBI (1D3Z.pdb).

Comparando-se as faixas de distâncias dos ALC obtidas através de dinâmica molecular com as distâncias das aminas das lisinas obtidas pelo modelo de RMN foi possível estimar o número de ligações cruzadas passíveis de serem formadas em um experimento de ligação cruzada, levando em conta apenas as distâncias entre os pares de lisina (Figura 30).

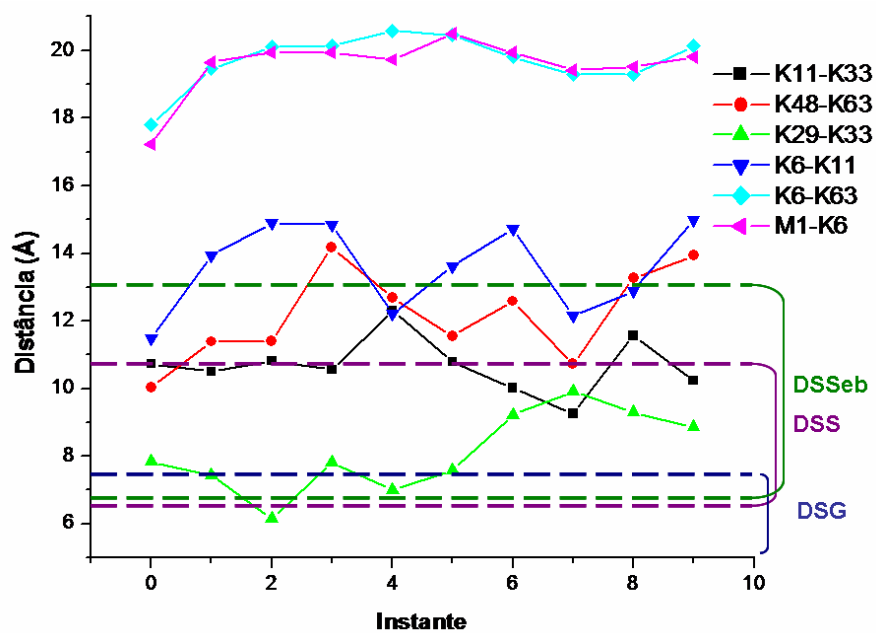


Figura 30: Mapeamento das distâncias entre os pares de lisinas da Ubq pelos ALC.

De acordo com o mapeamento das lisinas são possíveis a formação das ligações cruzadas entre as lisinas 29-33 para o DSG, 48-63, 29-33 e 11-33 para o DSS e 29-33, 11-33, 48-63 e 6-11 para o DSSeb.

Vale destacar que o mapeamento foi utilizado apenas com uma referência para estimar o número máximo de ligações cruzadas a serem formadas, e que desvios experimentais deste mapeamento não devem ser tratados como falsos positivos. Um claro exemplo disto foi observado na reação da Ubq com DSS, onde, experimentalmente se observa a formação de uma quarta modificação do tipo interpeptídeo, sendo que neste caso, eram previstas apenas três modificações deste tipo. A formação desta quarta ligação pode ser explicada devido a dois fatores: i) Flexibilidade da proteína além daquela obtida pela análise dos dados de RMN; ii) reação do DSS com outros resíduos de aminoácidos, tais como tirosina [19]. Se considerarmos apenas as reações com as lisinas, as candidatas mais prováveis à formação da quarta modificação do tipo interpeptídeo são as lisinas 6 e 11, que na estrutura de DRX (1UBQ.pdb) estão separados por apenas 11.5 Å (Figura 31), sendo que a lisina 6 encontra-se próxima a porção N-terminal, região onde de alta flexibilidade, o que viabiliza a aproximação entre estes resíduos para a formação de outra a ligação cruzada entre eles.

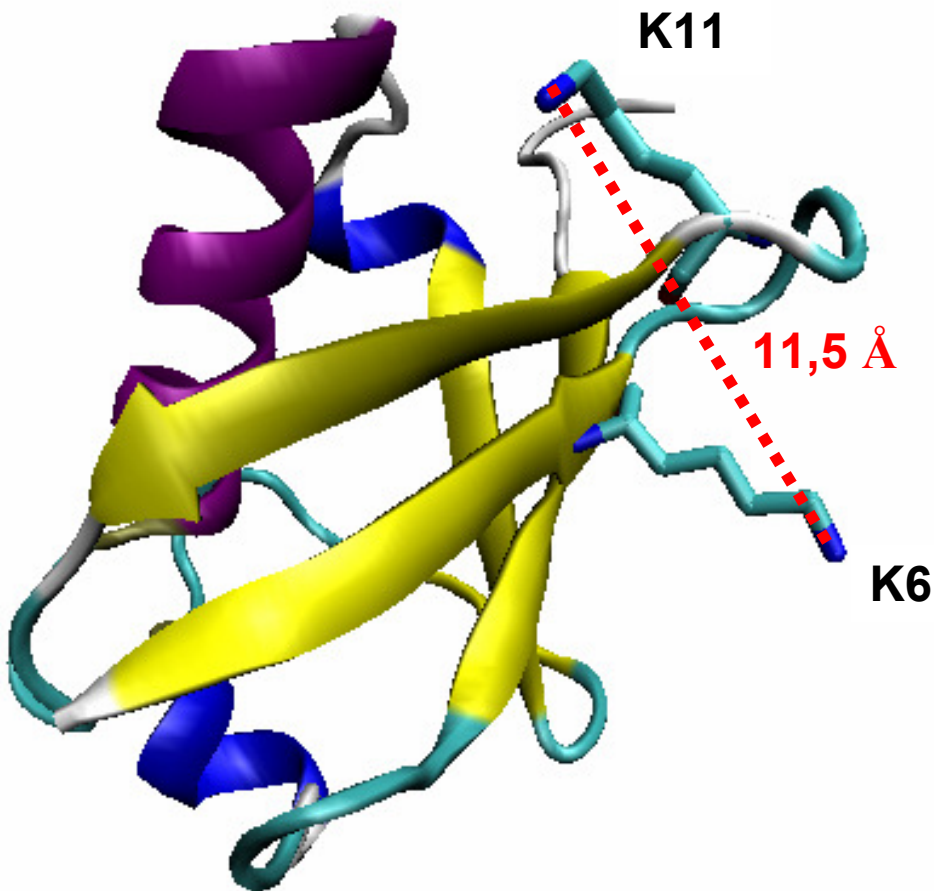


Figura 31: Estrutura da Ubq obtida por DRX (1UBQ.pdb), destacando a proximidade dos resíduos de lisina 6 e 11.

Além disso, como o mapeamento leva em conta apenas a distância entre os pares de lisina na superfície da proteína, para avaliar a formação de ligações cruzadas, é provável que a estimativa realizada seja superestimada, já que a acessibilidade ao resíduo e a reatividade específica [50] destes resíduos (dependente do ambiente químico) são simplesmente ignorados. Isso significa dizer que, na realidade, o número de ligações cruzadas experimentalmente formadas deve ser menor do que o previsto pelo mapeamento.

O mapeamento dos pares de lisina das proteínas CytC e Mb, foi feito a partir das estruturas de RMN, 1MYF.pdb e 1LC2.pdb, respectivamente, e os resultados obtidos estão apresentadas a seguir nas Tabelas 6 e 7.

Tabela 6: Pares de lisinas do CytC que podem formar ligações cruzadas.

Lisinas	39-53	72-79	72-86	05-07	55-53	53-79	55-73	39-60	99-100	87-88	13-86	07-08	05-08	22-25	25-27	80-86	
DSG		X								X	X		X		X	X	
DSS	X	X		X						X	X	X	X	X	X	X	
DSSeb	X	X	X	X	X	X	X	X	X	X	X	X	X	X	X	X	

Tabela 7: Pares de lisinas da Mb que podem formar ligações cruzadas.

Lisinas	42-98	79-87	87-147	42-47	145-147	56-62	62-63
DSG	X				X	X	X
DSS	X	X		X	X	X	X
DSSeb	X	X	X	X	X	X	X

Para o CytC, a partir do mapeamento, foram previstas 6, 11 e 16 ligações cruzadas para o DSG, DSS e DSSeb, respectivamente, enquanto que para a Mb, foram previstas 4, 6 e 8 ligações cruzadas para o DSG, DSS e DSSeb. Experimentalmente, pela análise das proteínas intactas, foram detectadas até 4, 7 e 3 ligações cruzadas para o CytC, já para a Mb, foram detectadas 4, 6 e 5, para o DSG, DSS e DSSeb, respectivamente, o que representa um bom rendimento da reação de ligação cruzada.

4.3.3. Análise de LC-MS/MS: Identificação dos peptídeos ligados pelos ALC

A próxima etapa para a obtenção da informação estrutural a partir da metodologia ALC+MS consistiu na análise dos peptídeos gerado a partir da digestão das proteínas modificadas para a identificação dos resíduos de lisina modificados nos peptídeos ligados pelos ALC. Como discutido anteriormente, essa etapa consiste no maior gargalo experimental da técnica, já que a detectabilidade dos peptídeos modificados é baixa devido à baixa concentração dessas espécies na mistura final.

A identificação dos peptídeos modificados inicia-se com a comparação dos peptídeos das amostras das proteínas controle (sem ALC) e das proteínas modificadas com ALC. Os potenciais peptídeos contendo ligações cruzadas devem estar ausentes das amostras controle.

Como pode ser observado nos cromatogramas alinhados das amostras de CytC controle, contendo DSG, DSS e DSSeb 1:10 (Figura 32), picos cromatográficos únicos estão presentes nas amostras modificadas, indicando a presença dos peptídeos modificados pelos ALC.

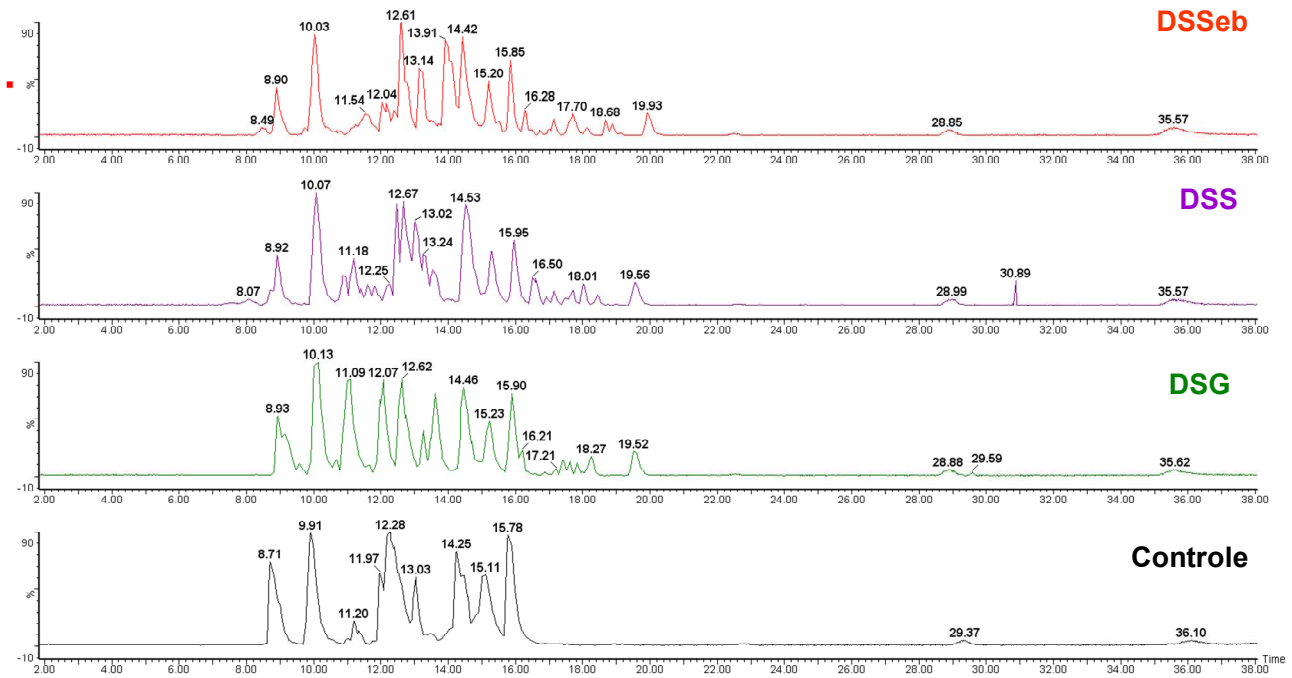


Figura 32: Cromatogramas dos digestos de Citocromo C após reação com os ALC e da amostra controle.

Como exemplo, a análise dos peptídeos correspondentes ao tempo de retenção em torno 19.5 min, revelou a presença de íons de m/z 802,4, 823,4 e 837,5, na amostras DSG, DSS e DSSeb, respectivamente, todos duplamente carregados (Figura 33).

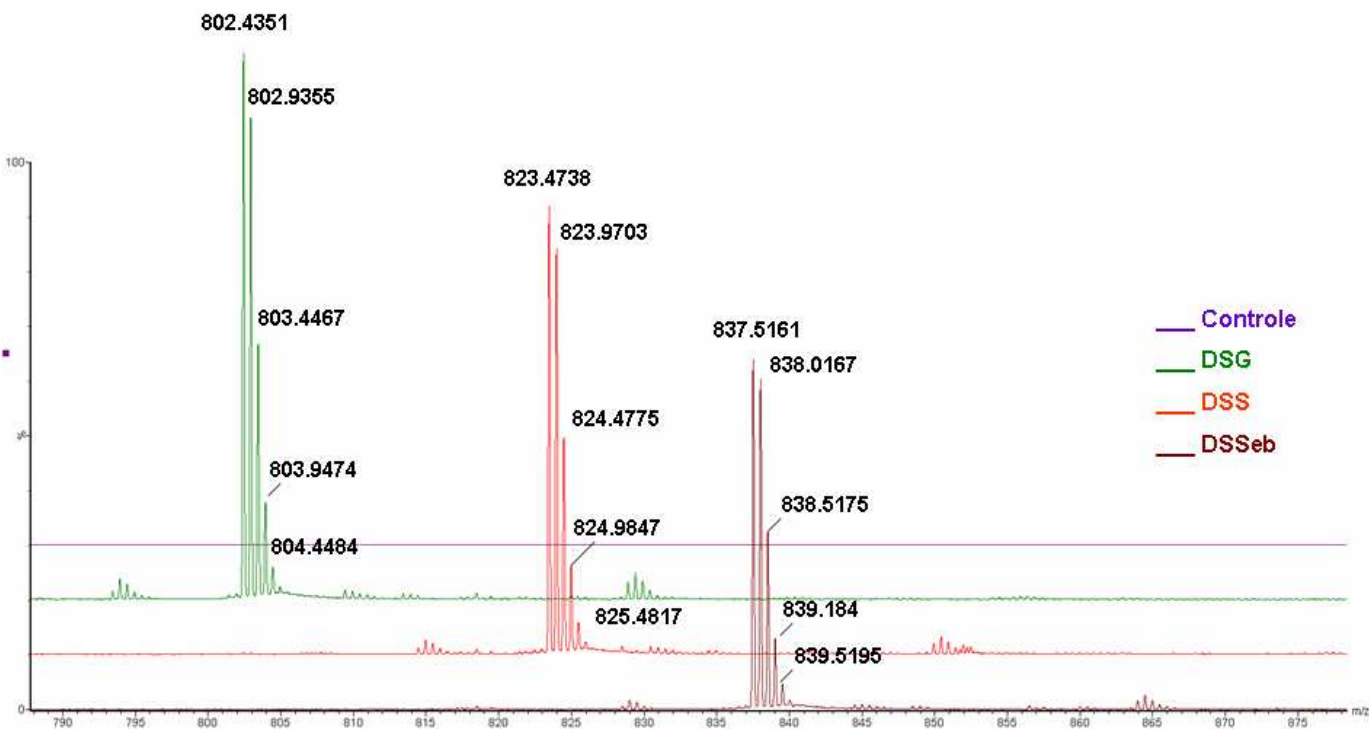


Figura 33: Espectro de massa dos peptídeos detectados em torno do tempo de retenção 19,5 min para as amostras de CytC controle, DSG, DSS e DSSeb.

Como é possível observar, a diferença entre sinais do padrão isotópico é de m/z 0,5, mostrando que estes peptídeos estão duplamente carregados. Dessa forma, a determinação das massas neutras (M_r) dos peptídeos contendo as modificações pelos três ALC é feita multiplicando-se o valor de m/z medido pelo número de cargas (+2) e descontando-se a massa correspondente aos prótons (2,0156 u):

$$M_r + M_{DSG} = [(m/z\ 802,4351 \times 2) - 2] = 1602,8546\ Da$$

$$M_r + M_{DSS} = [(m/z\ 823,4738 \times 2) - 2] = 1644,932\ Da$$

$$M_r + M_{DSSeb} = [(m/z\ 837,5161 \times 2) - 2] = 1673,0166\ Da$$

Comparando-se os estes valores verifica-se que a diferença entre eles é, de 42 e 28 u, correspondentes a 3 e 2 grupos metil (CH_2), respectivamente, conforme esperado para os três ALC homólogos. Subtraindo as massas correspondentes às

modificações para cada um dos ALC, DSG (96,0211 u), DSS (138,068 u) e DSSeb (166,0994 u):

$$Mr_{\text{peptídeo}} = 1602,9 - 96 = 1506,8335 \text{ Da}$$

$$Mr_{\text{peptídeo}} = 1644,9 - 138 = 1506,864 \text{ Da}$$

$$Mr_{\text{peptídeo}} = 1673,0 - 166 = 1506,9172 \text{ Da}$$

Os sinais mostrados no espectro referem-se, portanto, ao mesmo peptídeo de massa 1507,0 Da contendo uma cadeia de ALC. Como mostrado mais adiante (Figura 35B), esses peptídeos específicos correspondem a uma modificação do tipo intrapeptídeo para os três ALC.

A análise de todos os peptídeos detectados por LC-MS e MS/MS foi feita como descrito em 3.2.2. Após o processamento dos espectros de massa pelo programa Proteinlynx (Waters Co.), os dados processados foram analisados pelo programa Mascot (*Matrix Science*) para confirmação da identidade e determinação da sequência primária das proteínas. A identidade e a sequência primária identificadas foram:

- **Ubiquitina – *Ubiquitin – Ovis Áries (Sheep)***

01 MQIFVKTLTG	11 KTITLEEPS	21 DTIENVKAKI	31 QDKEGIPPDQ
41 QRLIFAGKQL	51 EDGRTLSDYN	61 IQKESTLHLV	71 LRLRGG

- **Citocromo C – *Cytochrome C CCHO (Horse)***

01 GDVEKGKKIF	11 VQKCAQCHTV	21 EKGKHKHTGP	31 NLHGLFGRKT
41 GQAPGFTYTD	51 ANKNKGITWK	61 ANTLMEYLEN	71 PKKYIPGTKM
81 IFAGIKKKTE	91 REDLIAYLKK	101 ATNE	

- **Mioglobina – *Myoglobin MYG_EQUBU (Equus quagga)***

01 GLSDGEWQQV	11 LNWVGKVEAD	21 IAGHGQEVL	31 RLFTGHPETL
41 EKFDKFKHLK	51 TEAEMKASED	61 LKKHGTVVLT	71 ALGGILKKKG
81 HHEAELKPLA	91 QSHATKHKIP	101 IKYLEFISDA	111 IIHVLHSKHP
121 GDFGADAQGA	131 MTKAELFRN	141 DIAAKYKELG	151 FQG

As informações quanto a sequências primárias das proteínas, a enzima utilizada na digestão (tripsina), a lista dos peptídeos detectados, bem como os valores das modificações previstos para cada ALC (Tabela 1), foram utilizados pelo programa xBobcat [34] para a identificação dos possíveis peptídeos contendo modificados pelos ALC.

Este programa baseia-se em um algoritmo que gera uma lista teórica de peptídeos modificados pelos ALC, combinando as massas dos peptídeos gerados por digestão teórica da sequência primária fornecida e as massas das modificações. Essa lista teórica é comparada com a lista de peptídeos obtida pela análise por LC-MS dos digestos, considerando um erro de \pm m/z 0,1.

Dessa forma, foram identificados os potenciais peptídeos modificados. Os resultados obtidos estão mostrados nas Tabelas 6-8, onde + significa detectado e – não detectado.

Tabela 8: Peptídeos modificados da Ubq.

Sequência	Lisina(s)	DSG	DSS	DSSeb	Modificação
LIFAGKQLEDGR	48	+	+	+	dead end
IQDKEGIPPDQQR	33	-	+	+	dead end
LIFAGKQLEDGR - TLSDYNIQKESTLHLVLR	48-63	-	+	+	inter
IQDKEGIPPDQQR - TLTGKTITLEVEPSDTIENVK	11-33	-	+	+	inter
MQIFVKTLTGK	M1-6	-	+	+	intra
AKIQDKEGIPPDQQR	29-33	-	+	+	intra

Tabela 9: Peptídeos modificados do CytC.

Sequência	Lisina(s)	DSG	DSS	DSSeb	Modificação
MIFAGIKK	M80-86	-	+	+	intra
EDLIAYLKKATNE	99-100	+	+	+	intra
KTGQAPGFTYTDANKNK	39-53	-	+	+	intra
EETLMYEYLENPKK-MIFAGIKK	72-86	-	-	+	inter
MIFAGIKKKTER	86/87	+	+	-	dead end
GGKHKTGPNLHGLFGR	25/27	+	+	-	dead end
KTEREDLIAYLKK	88/99	-	+	-	dead end

Tabela 10: Peptídeos modificados da Mb.

Sequência	Lisina(s)	DSG	DSS	DSSeb	Modificação
ASEDLKKHGTVVLTALGGILK	62-63	+	+	+	intra
LFTGHPETLEKFDK - HKIPIK	42-98	-	+	+	inter
FKHLK - LFTGHPETLEKFDK	47-42	-	-	+	inter
NDIAAKYKELGFQG	145-147	-	+	+	intra
LFTGHPETLEKFDK	42	+	+	+	dead end
HLKTEAEMK	50	+	+	+	dead end
HGTVVLTALGGILKK	77	+	+	+	dead end

Comparando o número de ligações cruzadas identificadas com o número de modificações previstas pelo mapeamento teórico dos pares de lisinas posicionados na superfície da proteína, observa-se que, de fato, a detectabilidade dos peptídeos modificados é ainda o maior gargalo desta técnica. Ao mesmo tempo, é importante destacar que o mapeamento fornece um número superestimado de ligações cruzadas a serem formadas, como foi discutido anteriormente. Como exemplo, para a Mb foram previstas até 7 ligações cruzadas com DSS. Na análise da proteína intacta, foram detectadas 4 ligações cruzadas, valores iguais aos identificados pela análise dos peptídeos da Mb.

Analogamente, para o CytC, segundo o mapeamento, foram previstas até 12 ligações cruzadas com o DSS. Pela análise da proteína intacta foram formadas até 7 ligações cruzadas diferentes, das quais 3 foram identificadas pela análise dos peptídeos.

Como a identificação dos peptídeos modificados pelos ALC, feita com auxílio do programa xBobcat está baseada apenas na combinação das massas de peptídeos e dos ALC, podem ocorrer falsos positivos em função de coincidências de massas. Além disso, o programa também não leva em consideração o fato de que as lisinas modificadas pelos ALC não são cliváveis pela enzima tripsina. Dessa forma, para que um peptídeo tríptico (obtido por digestão usando tripsina) possa estar modificado por um ALC, esse deve conter no mínimo 2 lisinas ou 1 lisina e 1 arginina em sua sequência, um sítio contendo a modificação (lisina) e outro sítio clivado pela tripsina (argina). Portanto, a confirmação dos peptídeos identificados como contendo alguma modificação não pode ser feita sem uma cuidadosa inspeção manual dos espectros dos seus respectivos fragmentos (MS/MS).

Os peptídeos modificados pelos ALC comportam-se de maneira semelhante aos contendo modificações pós-traducionais no que diz respeito à fragmentação em fase gasosa. Dessa forma, é possível utilizar a mesma nomenclatura e as regras de fragmentação desses peptídeos para os peptídeos contendo ALC [1].

Segundo a nomenclatura utilizada, na fragmentação de peptídeos são formados íons *a*, *b*, e *c*, que são aqueles que retêm a carga na porção N-terminal do peptídeo original, e os íons *x*, *y* e *z* que apresentam a carga na porção C-

terminal (Figura 34) [51]. Os íons comumente formados na fragmentação de peptídeos nas condições nas quais operam o instrumento utilizado nesse estudo são os íons *b* e *y*, que são formados pela clivagem da ligação C(O)–NH da ligação amida.

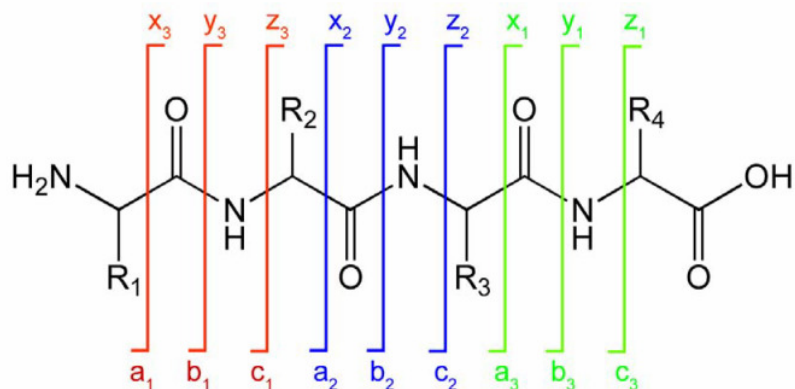


Figura 34: Nomenclatura utilizada na identificação dos fragmentos observados na dissociação de peptídeos em fase gasosa.

Dessa forma, foi feita interpretação dos espectros de MS/MS dos peptídeos modificados, como está exemplificado para os peptídeos LIFAGKQLEDGR – TLSDYNIQKESTLHLVLR da Ubq e EDLIAYLKKATNE do CytC, na Figura 35.

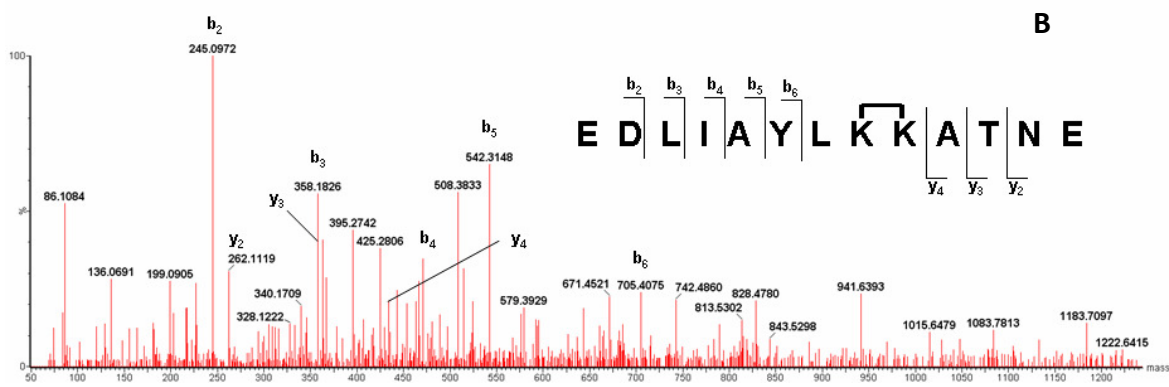
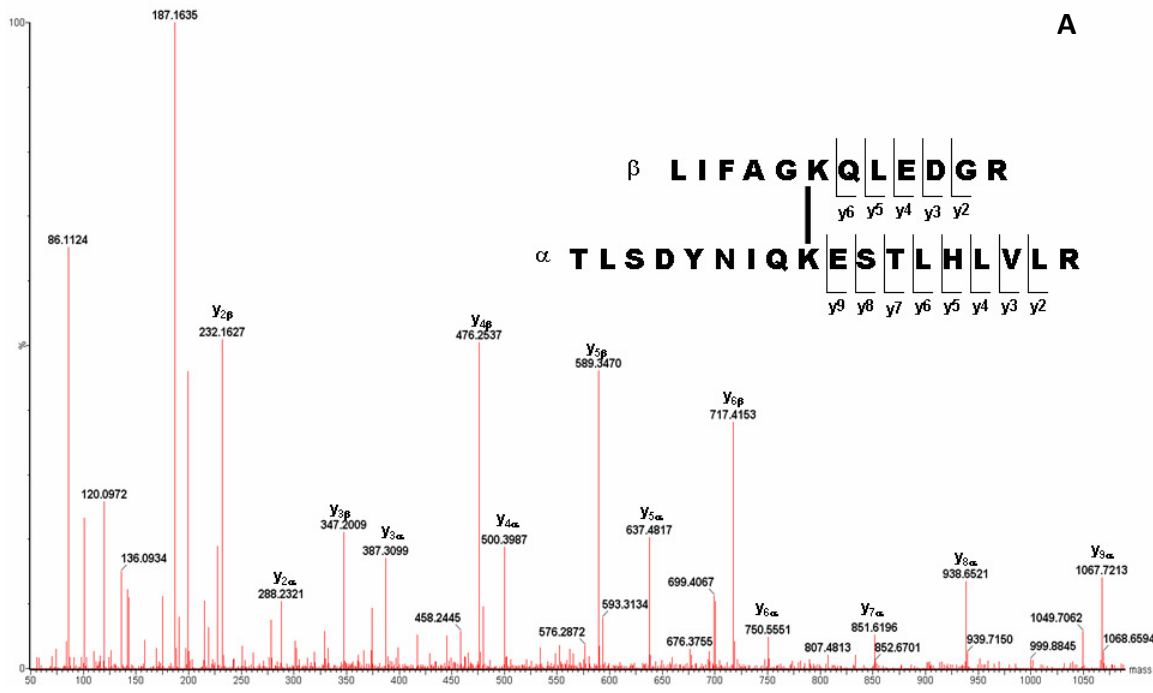


Figura 35: A - Espectro de MS/MS do peptídeo LIFAGKQLEDGR – TLSDYNIQKESTLHLVLR (m/z 723,8) da Ubp contendo uma modificação do tipo interpeptídeo e, B - Espectro de MS/MS do peptídeo EDLIALYLLKKATNE (m/z 823,4) do CytC contendo uma modificação do tipo intrapeptídeo.

A partir destes resultados foram construídos mapas de ligação para cada ALC, (Figura 36). Nestes mapas, as lisinas em vermelho são as que apresentaram modificações do tipo *dead end*.

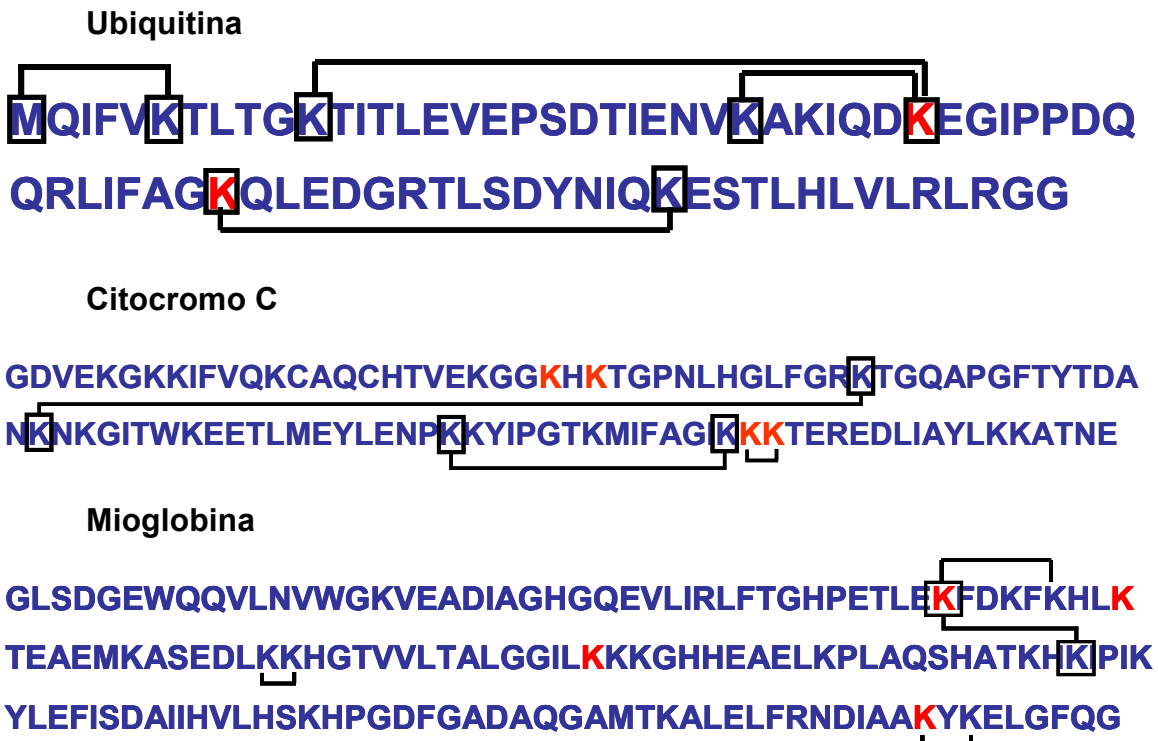


Figura 36: Mapas de ligação das proteínas Ubx, Mb e CytC, construídos a partir dos peptídeos modificados listados nas Tabelas 6 – 7. As lisinas em vermelho são as com modificações do tipo *dead end*.

Após a comparação dos dados experimentais e teóricos, fica claro que **todas** as ligações cruzadas identificadas experimentalmente estão dentro daquelas previstas teoricamente, demonstrando que as restrições de distância obtidas pela técnica de ALC+MS são confiáveis.

Cabe destacar que a aquisição de bons espectros de MS/MS requer a re-injeção das amostras para uma análise direcionada, uma vez que a análise automatizada é otimizada para a obtenção do maior número possível de espectros, e não para melhor qualidade destes. Para se obter espectros com a

qualidade desejada, uma segunda análise de MS/MS dirigida especificamente aos peptídeos contendo ligação cruzada é necessária.

Uma abordagem baseada em fragmentos típicos de peptídeos contendo alguma modificação pelos ALC, desenvolvida pelo nosso grupo de pesquisa tem auxiliado na identificação desses peptídeos [52,53]. Foi observado que a fragmentação de peptídeos modificados pelos ALC gera alguns fragmentos recorrentes. A partir de experimentos do tipo varredura de íons precursores, nos quais o primeiro analisador transmite continuamente os íons, enquanto o segundo analisador adquire espectros alternados com e sem fragmentação, pela variação da energia de colisão na câmara de colisão, é possível identificar o precursor que deu origem a determinado fragmento.

5. Conclusões

Os parâmetros do campo de força aqui determinados permitiram o uso da dinâmica molecular na simulação de eventos de ligação cruzada e podem ser facilmente estendidos a outros estudos futuros que utilizem estruturas baseadas em ésteres de N-hidróxisuccinimida.

As faixas de distâncias obtidas mostraram-se mais adequadas para descrição do alcance real dos ALC do que os valores únicos frequentemente relatados na literatura, além de fornecerem dados sobre distâncias mínimas para formação das ligações cruzadas. Além disso, para o DSSeb, os resultados alcançados representam os primeiros dados disponíveis para este ALC.

Para os demais ALC, o DSG e o DSS, foi mostrado que os dados disponíveis na literatura apresentam imprecisões significativas, que, certamente, afetam os dados estruturais obtidos a partir destes resultados.

Nos estudos de dinâmica molecular com os ALC parcialmente ligados a resíduos de lisina, foi observada que o ambiente químico ao qual o ALC está submetido, quando parcialmente ligado a uma proteína, afeta a sua dinâmica e faixas de distâncias. De maneira geral, foi observada um estreitamento das faixas de distância dos ALC.

Com relação aos mapeamentos teóricos realizados, considerando apenas as distâncias amostradas entre as lisinas obtidas a partir da técnica de RMN e as faixas de distâncias determinadas para os ALC, foram identificados os prováveis pares de lisinas envolvidos na formação das ligações cruzadas, resultado que apresentou excelente correspondência para os dados experimentais obtidos pela metodologia ALC+MS. Um ponto importante foi a detecção de uma ligação cruzada não prevista pela estrutura de RMN, entre as lisinas 6 e 11. Esse dado revela a grande flexibilidade da região N-terminal, na qual se encontra a lisina 6, o que possibilita a aproximação desta a lisina. A detecção desta espécie mostra também que a estrutura de RMN não descreve com total amplitude a dinâmica da proteína em solução e que cuidados devem ser tomados na utilização do mapeamento para análise das ligações cruzadas detectadas por MS.

Com relação às proporções testadas nos experimentos de ligação cruzada, a proporção molar 1:10 (proteína:ALC) escolhida, resultou em rendimentos de reação adequados para todas as proteínas e ALC empregados.

Por fim, tomando como base o mapeamento teórico, constatou-se que, de fato, o número de modificações experimentalmente formadas é menor do que o previsto teoricamente, o que pode ser explicado por aspectos de reatividade e acessibilidade dos resíduos, assim como pela dificuldade em se detectar os peptídeos contendo ligação cruzada.

A análise dos espectros de MS/MS dos peptídeos modificados permitiu a identificação dos resíduos de lisina ligados ao ALC e verificou-se que todas as modificações experimentalmente detectadas estavam dentro das previstas pelo mapeamento teórico de distâncias, demonstrando a validade dos resultados experimentais e a ausência de falsos positivos.

Por fim, o uso da técnica de ligação cruzada acoplada a espectrometria de massas é uma abordagem atrativa e confiável para obtenção de dados estruturais de proteínas, que requer pequenas quantidades de amostras, demanda relativamente pouco tempo de análise e pode ser executado em qualquer instrumento apropriado para análises proteômicas.

6. Referências

- [1] Iglesias A. H. Tese de Doutorado IQ-UNICAMP, 2009.
- [2] James P.; Quadroni M.; Carafoli E.; Gonnet G. Proc. Natl. Acad. Sci. USA, 195, 58-64, 1993.
- [3] Yamashita M.; Fenn J. B. J. Phys. Chem., 84, 4451-4459, 1984.
- [4] Karas M.; Bachmann D.; Bahr U.; Hillenkamp F. Int. J. Mass Spectrom. Ion Proc., 78, 53-68, 1987.
- [5] Fenn J. B.; Mann M.; Meng C. K.; Wong S. F.; Whitehouse C. F. Science, 246, 64-71, 1989.
- [6] Kinter M.; Sherman N. E. Protein Sequencing and Identification Using Tandem Mass Spectrometry, New York, John Wiley & Sons, 2000.
- [7] Lopes, N. P.; Crotti, E. M.; Vessechi, R.; Lopes, J. L. C.; Quim. Nova 29, 2, 2006.
- [8] Aebersold R.; Goodlett D. R. Chem. Rev., 101, 269-295, 2001.
- [9] Aebersold R.; Mann M. Nature, 422, 198-207, 2003.
- [10] Patterson S. D.; Aebersold R. Nature Genet., 33, 311-323, 2003.
- [11] Steen H.; Mann M. Nature Rev. Mol. Cell Biol., 5, 699-711, 2004.
- [12] Yates III J. R. Annu. Rev. Biophys. Biomol. Struct., 33, 297-316, 2004.
- [13] Domon B.; Aebersold R. Science, 312, 212-218, 2006.
- [14] Cravatt B. F.; Simon G. M.; Yates III J. R.; Nature, 450, 991-1000, 2007.
- [15] Hoofnagle A. N.; Resing K. A.; Ahn N. G. Annu. Rev. Biophys. Biomol. Struct., 32, 1-25, 2003.
- [16] Yan X.; Watson J.; Ho P. S.; Deinzer M. L. Mol. Cell. Proteomics, 3, 10-23, 2004.
- [17] Jay D. G. J. Biol. Chem., 259, 15572-15578, 1984
- [18] Young M. M.; Tang N.; Hempel J. C.; Oshiro C. M.; Taylor E. W.; Kuntz I. D.; Gibson B. W.; Dollinger G. Proc. Natl. Acad. Sci. USA, 97, 5802-5806, 2000.
- [19] Busenlehner L. S.; Armstrong R. N. Arch. Biochemistry Biophys., 433, 34-46, 2005.
- [20] Sinz, A. *Mass. Spectrom. Rev.* 2006, 25, 663.
- [21] Mädler S.; Bich C.; Touboul D; Zenobi R. *J. Mass Spectrom.* 2008.
- [22] Back J. W.; Jong L.; Muijsers A. O.; Koster C. G. *J. Mol. Biol.*, 331, 303-313, 2003.
- [23] Silva, R. A. G. D.; Hilliard, G. M.; Fang, J.; Macha, S.; Davison, W. S. *Biochemistry* 2005, 44, 2759.
- [24] Lacroix, M.; Rossi, V.; Gaboriaud, C.; Chevallier, S.; Jaquinod, M.; Thielens, N. M.; Gagnon, J.; Arlaud, G. *J. Biochemistry* 1997, 36, 6270.
- [25] Alley, S. C.; Trakselis, M. A.; Mayer, M. U.; Ishmael, F. T.; Jones, A. D.; Benkovic, S. *J. J. Biol. Chem.* 2001, 276, 39340;
- [26] Chu, F.; Shan, S.; Moustakas, D. T; Alber, F.; Egea, P. F.; Stroud, R. M.; Water, P.; Burlingame, A. L. *Proc. Natl. Acad. Sci. USA.* 2004, 101 (16), 16454.
- [27] Martinez L. Tese de Doutorado IQ-UNICAMP, 2007.
- [28] D. Mackerell, L. Nilsson, R. J. Petrella, B. Roux, Y. Won, G. Archontis, C. Bartels, S. Boresch A. Caflisch, L. Caves, Q. Cui, A. R. Dinner, M. Feig, S. Fischer, J. Gao, M. Hodoscek, W. Im, K. Kuczera, T. Lazaridis, J. Ma, V. Ovchinnikov, E.

- Paci, R. W. Pastor, C. B. Post, J. Z. Pu, M. Schaefer, B. Tidor, R. M. Venable, H. L. Woodcock, X. Wu, W. Yang, D. M. York, and M. Karplus.
- [29] van Gunsteren, W. F.; Billeter, S. R.; Eising, A. A.; Hünenberger, P. H.; Krüger, P.; Mark, A. E.; Scott, W. R. P.; Tironi, I. G. *J. Comp. Chem.* 30, 1545-1615 (2009).
- [30] D.A. Case, T.A. Darden, T.E. Cheatham, III, C.L. Simmerling, J. Wang, R.E. Duke, R. Luo, M. Crowley, Ross C. Walker, W. Zhang, K.M. Merz, B. Wang, S. Hayik, A. Roitberg, G. Seabra, I. Kolossváry, K.F. Wong, F. Paesani, J. Vanicek, X. Wu, S.R. Brozell, T. Steinbrecher, H. Gohlke, L. Yang, C. Tan, J. Mongan, V. Hornak, G. Cui, D.H. Mathews, M.G. Seetin, C. Sagui, V. Babin, and P.A. University of California, San Francisco, 2008.
- [31] Jorgensen WL, Tirado-Rives J. *J. Am. Chem. Soc.* 110: 1657–1666, 1988.
- [32] Lee Y. *J. Mol Bio.* 4, 816-823, 2008.
- [33] Pimenova T.; Nazabal A.; Roschitzki B.; Seebacher J.; Rinner O.; Zenobi R. *J. Mass Spectrom.* 43, 185-195, 2008.
- [34] Maiolica A.; Cittaro D.; Borsotti D.; Sennels L.; Ciferri C.; Tarricone C.; Musacchio A.; Rappaport J. *Mol. Cell. Proteomics* 6, 2200-2211, 2007.
- [35] MassLynx NT User's Guide v3.5, pg. 209-220
- [36] Rinner O.; Seebacher J.; Walzthoeni T.; Mueller L.; Beck M.; Schmidt A.; Mueller M.; Aebersold R. *Nature Meth.*, 5, 315-318, 2008.
- [37] Frisch, M. J.; Trucks, G. W.; Schlegel, H. B.; Scuseria, G. E.; Robb, M. A.; Cheeseman, J. R.; Montgomery, Jr., J. A.; Vreven, T.; Kudin, K. N.; Burant, J. C.; Millam, J. M.; Iyengar, S. S.; Tomasi, J.; Barone, V.; Mennucci, B.; Cossi, M.; Scalmani, G.; Rega, N.; Petersson, G. A.; Nakatsuji, H.; Hada, M.; Ehara, M.; Toyota, K.; Fukuda, R.; Hasegawa, J.; Ishida, M.; Nakajima, T.; Honda, Y.; Kitao, O.; Nakai, H.; Klene, M.; Li, X.; Knox, J. E.; Hratchian, H. P.; Cross, J. B.; Bakken, V.; Adamo, C.; Jaramillo, J.; Gomperts, R.; Stratmann, R. E.; Yazyev, O.; Austin, A. J.; Cammi, R.; Pomelli, C.; Ochterski, J. W.; Ayala, P. Y.; Morokuma, K.; Voth, G. A.; Salvador, P.; Dannenberg, J. J.; Zakrzewski, V. G.; Dapprich, S.; Daniels, A. D.; Strain, M. C.; Farkas, O.; Malick, D. K.; Rabuck, A. D.; Raghavachari, K.; Foresman, J. B.; Ortiz, J. V.; Cui, Q.; Baboul, A. G.; Clifford, S.; Cioslowski, J.; Stefanov, B. B.; Liu, G.; Liashenko, A.; Piskorz, P.; Komaromi, I.; Martin, R. L.; Fox, D. J.; Keith, T.; Al-Laham, M. A.; Peng, C. Y.; Nanayakkara, A.; Challacombe, M.; Gill, P. M. W.; Johnson, B.; Chen, W.; Wong, M. W.; Gonzalez, C.; and Pople, J. A.; Gaussian, Inc., Wallingford CT, 2004.
- [38] Davidson, Ernest; Feller, David. *Chem Ver*, 4, 681–696, 1986.
- [39] Schaftenaar G.; Noordik J.H., *J. Comput. Mol. Design*, 14, 123-134, 2000.
- [40] E. Hückel, *Zeitschrift für Physik*, 70, 204, (1931); 72, 310, (1931); 76, 628 (1932); 83, 632, (1933)
- [41] Hückel Theory for Organic Chemists, C. A. Coulson, B. O'Leary and R. B. Mallion, Academic Press, 1978.
- [42] Andrew Streitwieser, Molecular Orbital Theory for Organic Chemists, Wiley, New York, (1961)
- [43] U. C. Singh and P. A. Kollman (*J. Comp. Chem.* 1984, 5, 129 - 145)
- [44] James C. Phillips, Rosemary Braun, Wei Wang, James Gumbart, Emad Tajkhorshid, Elizabeth Villa, Christophe Chipot, Robert D. Skeel, Laxmikant Kale, and Klaus Schulten. *Journal of Computational Chemistry*, 26:1781-1802, 2005.
- [45] Nakano, T., Kozo, A., Tanaka, S. *Chem-Bio Inform J.* 9, 30-40, 2009

- [46] Green N. S.; Reisler E.; Houk K. N. Protein Science. 10, 1293-1304, 2001.
- [47] DSG (Disuccinimidylglutarate):
<http://www.piercenet.com/products/browse.cfm?fldID=02030232>, acessado em fevereiro de 2010.
- [48] DSS (Disuccinimidyl suberate):
<http://www.piercenet.com/Products/Browse.cfm?fldID=02030236>, acessado em fevereiro de 2010.
- [49] Humphrey W., Dalke A., Schulten K. J Mol Grap, 14, 33-38, 1996.
- [50] Novak, P., Young, M. M., Schoeninger, J. S., Kruppa, G. H. Eur. J. Mass Spectrom. 9, 623-631, 2003
- [51] Tananchai, P., Chisti, Y. Biotech. Prog. 1-28, 2009.
- [52] Hoshi, A. I.; Santos, L. F. A., Gozzo, F. C. J Am Soc Mass Spectrom, 20, 557-566, 2009.
- [53] Hoshi, A. I.; Santos, L. F. A., Gozzo, F. C. Anal Chem, 82, 909-916, 2010.

7. Anexos

7.1. Arquivo Topologia

```
* CHARMM topology file for spacers
*
!
! Compiled by:
! Paulo Cesar Telles de Souza
! Department of Physical Chemistry, Institute of Chemistry
! State University of Campinas
! psouza@iqm.unicamp.br or paulocts@gmail.com
! date: 20/11/2008

27 1

!
! Topology definitions for spacers
!

MASS    1    HXP    1.008000 H !
MASS    2    HX2    1.008000 H !
MASS    3    HX3    1.008000 H !
MASS    4    CX     12.011000 C !
MASS    5    CX1    12.011000 C !
MASS    6    CXC    12.011000 C !
MASS    7    CX2    12.011000 C !
MASS    8    CX3    12.011000 C !
MASS    9    CXP    12.011000 C !
MASS   10    NX     14.007000 N !
MASS   11    OX     15.999400 O !
MASS   12    OXC    15.999400 O !
MASS   13    OX1    15.999400 O !
MASS   14    OXE    15.999400 O !
MASS   15    OXS    15.999400 O !
MASS   16    SX     32.060000 S !
```

```
AUTO ANGLES DIHED
```

```

RESI DSS      0.00
GROUP
ATOM C1      CXP   -0.21382450 !
ATOM C2      CX1    0.53105550 !
ATOM N3      NX     0.07123800 ! H33    O9
ATOM C4      CX1    0.53105550 ! \    || |
ATOM C5      CXP   -0.21382450 ! H34--C1---C2     O8   H46   H45   H44   H43   H42   H41   O18
ATOM O6      OXE   -0.43501900 ! |     \   || |   |   |   |   |   |   |   |   |   |   |   |   |
ATOM C7      CX    0.94587700 ! |     |     N3--O6--C7--C11--C12--C13--C14--C15--C16--C17--O19--N20
ATOM O8      OX    -0.57224600 ! |     |     /   |   |   |   |   |   |   |   |   |   |   |   |
ATOM O9      OX1   -0.52012100 ! H31--C5---C4     H40   H39   H38   H37   H36   H35
ATOM O10     OX1   -0.52012100 ! /   || |
ATOM C11     CX2   -0.41396100 ! H32    O10
ATOM C12     CX2   -0.18000000 !
ATOM C13     CX2   -0.18000000
ATOM C14     CX2   -0.18000000
ATOM C15     CX2   -0.18000000
ATOM C16     CX2   -0.41396100
ATOM C17     CX    0.94587700
ATOM O18     OX    -0.57224600
ATOM O19     OXE   -0.43501900
ATOM N20     NX    0.07123800
ATOM C21     CX1   0.53105550
ATOM C22     CXP   -0.21382450
ATOM C23     CXP   -0.21382450
ATOM C24     CX1   0.53105550
ATOM O25     OX1   -0.52012100
ATOM O26     OX1   -0.52012100
ATOM H27     HXP   0.11339725
ATOM H28     HXP   0.11339725
ATOM H29     HXP   0.11339725
ATOM H30     HXP   0.11339725
ATOM H31     HXP   0.11339725
ATOM H32     HXP   0.11339725
ATOM H33     HXP   0.11339725
ATOM H34     HXP   0.11339725
ATOM H35     HX2    0.17815100
ATOM H36     HX2    0.09000000
ATOM H37     HX2    0.09000000
ATOM H38     HX2    0.09000000
ATOM H39     HX2    0.09000000
ATOM H40     HX2    0.17815100
ATOM H41     HX2    0.17815100
ATOM H42     HX2    0.09000000
ATOM H43     HX2    0.09000000
ATOM H44     HX2    0.09000000
ATOM H45     HX2    0.09000000
ATOM H46     HX2    0.17815100
BOND C1 H31 C1 H32 C1 C2 C1 C5 C5 H33 C5 H34 C5 C4

```

BOND C4 O10 C4 N3 N3 O6 N3 C2 C2 O9 O6 C7 C7 O8 C7 C11
 BOND C11 H40 C11 H46 C11 C12 C12 H45 C12 H39
 BOND C12 C13 C13 H44 C13 H38 C13 C14 C14 H37 C14 H43 C14 C15
 BOND C15 H42 C15 H36 C15 C16 C16 H35 C16 H41 C16 C17 C17 O18
 BOND C17 O19 O19 N20 N20 N20 C21 N20 C24 C21 O25 C24 O26 C21 C22
 BOND C22 H28 C22 H30 C22 C23 C23 H27 C23 H29 C23 C24
 IMPR C7 O6 C11 O8 C17 O19 C16 O18
 PATCH FIRST NONE LAST NONE

RESI	DSG	0.00
GROUP		
ATOM	C1	0.53105550 !
ATOM	N2	0.07123800 !
ATOM	C3	0.53105550 ! H27 O9 O22 H36
ATOM	C4	CXP -0.21382450 ! \ /
ATOM	C5	CXP -0.21382450 ! H26--C4---C3 O8 H28 H30 H33 O15 C18---C19---H37
ATOM	O6	OXE -0.43501900 ! \ /
ATOM	C7	CX 0.94587700 ! N2--O6--C7--C11--C12--C13--C14--O16--N17
ATOM	O8	OX -0.57224600 ! / \
ATOM	O9	OX1 -0.52012100 ! H25--C5---C1 H29 H31 H32 C21---C20---H34
ATOM	O10	OX1 -0.52012100 ! / \
ATOM	C11	CX2 -0.41396100 ! H24 O10 O23 H35
ATOM	C12	CX2 -0.18000000 !
ATOM	C13	CX2 -0.41396100
ATOM	C14	CX 0.94587700
ATOM	O15	OX -0.57224600
ATOM	O16	OXE -0.43501900
ATOM	N17	NX 0.07123800
ATOM	C18	CX1 0.53105550
ATOM	C19	CXP -0.21382450
ATOM	C20	CXP -0.21382450
ATOM	C21	CX1 0.53105550
ATOM	O22	OX1 -0.52012100
ATOM	O23	OX1 -0.52012100
ATOM	H24	HXP 0.11339725
ATOM	H25	HXP 0.11339725
ATOM	H26	HXP 0.11339725
ATOM	H27	HXP 0.11339725
ATOM	H28	HX2 0.17815100
ATOM	H29	HX2 0.17815100
ATOM	H30	HX2 0.09000000
ATOM	H31	HX2 0.09000000
ATOM	H32	HX2 0.17815100
ATOM	H33	HX2 0.17815100

```

ATOM H34      HXP      0.11339725
ATOM H35      HXP      0.11339725
ATOM H36      HXP      0.11339725
ATOM H37      HXP      0.11339725
BOND N2 C3 C3 O9 C3 C4 C4 H27 C4 H26 C4 C5 C5 H25 C5 H24
BOND C5 C1 C1 O10 C1 N2 N2 O6 O6 C7 C7 O8 C7 C11 C11 H28
BOND C11 H29 C11 C12 C12 H30 C12 H31 C12 C13 C13 H33 C13 H32
BOND C13 C14 C14 O15 C14 O16 O16 N17 N17 C18 C18 O22 C18 C19
BOND C19 H36 C19 H37 C19 C20 C20 H34 C20 H35 C20 C21 C21 O23
BOND C21 N17
IMPR C7 O6 C11 O8 C14 C13 O16 O15
PATCH FIRST NONE LAST NONE

```

```

RESI DSSeb 0.00
GROUP
ATOM C1 CX1 0.53105550 !
ATOM N2 NX 0.07123800 !
ATOM C3 CX1 0.53105550 ! H49 O10
ATOM C4 CXP -0.21382450 ! \ || O27 H48
ATOM C5 CXP -0.21382450 ! H50--C5---C1 O8 H37 H43 H41 H39 H29 H36 H33 H32 O20 C23---C24--H47
ATOM O6 OXE -0.43501900 ! | \ || | | | | | | | | | | | | | |
ATOM C7 CX 0.94587700 ! | | N2--O6--C7--C11--C12--C13--C14--C15--C16--C17--C18--C19--O21--N22 |
ATOM O8 OX -0.57224600 ! | | / | | | | | | | | | | | | | |
ATOM O9 OX1 -0.52012100 ! H51--C4---C3 H38 H44 H42 H40 H30 H35 H34 H31 C26---C25--H45
ATOM O10 OX1 -0.52012100 ! / || || |
ATOM C11 CX2 -0.41396100 ! H52 O9 O28 H46
ATOM C12 CX2 -0.18000000 !
ATOM C13 CX2 -0.18000000
ATOM C14 CX2 -0.18000000
ATOM C15 CX2 -0.18000000
ATOM C16 CX2 -0.18000000
ATOM C17 CX2 -0.18000000
ATOM C18 CX2 -0.41396100
ATOM C19 CX 0.94587700
ATOM O20 OX -0.57224600
ATOM O21 OXE -0.43501900
ATOM N22 NX 0.07123800
ATOM C23 CX1 0.53105550
ATOM C24 CXP -0.21382450
ATOM C25 CXP -0.21382450
ATOM C26 CX1 0.53105550
ATOM O27 OX1 -0.52012100
ATOM O28 OX1 -0.52012100
ATOM H29 HX2 0.09000000
ATOM H30 HX2 0.09000000
ATOM H31 HX2 0.17815100

```

ATOM H32 HX2 0.17815100
 ATOM H33 HX2 0.09000000
 ATOM H34 HX2 0.09000000
 ATOM H35 HX2 0.09000000
 ATOM H36 HX2 0.09000000
 ATOM H37 HX2 0.17815100
 ATOM H38 HX2 0.17815100
 ATOM H39 HX2 0.09000000
 ATOM H40 HX2 0.09000000
 ATOM H41 HX2 0.09000000
 ATOM H42 HX2 0.09000000
 ATOM H43 HX2 0.09000000
 ATOM H44 HX2 0.09000000
 ATOM H45 HXP 0.11339725
 ATOM H46 HXP 0.11339725
 ATOM H47 HXP 0.11339725
 ATOM H48 HXP 0.11339725
 ATOM H49 HXP 0.11339725
 ATOM H50 HXP 0.11339725
 ATOM H51 HXP 0.11339725
 ATOM H52 HXP 0.11339725
 BOND C1 N2 C1 O10 C1 C5 C5 H49 C5 H50 C5 C4 C4 H51 C4 H52 C4 C3 O21 N22 C19 O20
 BOND C3 O9 C3 N2 O6 O6 C7 C7 O8 C7 C11 C11 H37 C11 H38 C11 C12 C19 O21 C15 H29
 BOND C12 H43 C12 H44 C12 C13 C13 H41 C13 H42 C13 C14 C14 H39 C14 H40 C14 C15 C15 H30
 BOND C15 C16 C16 H36 C16 C17 C17 H33 C17 H34 C17 C18 C18 H31 C18 H32 C18 C19
 BOND N22 C23 N22 C26 C23 O27 C23 C24 C24 H48 C24 H47 C24 C25 C25 H45 C25 H46
 BOND C25 C26 C26 O28
 IMPR C7 O6 C11 O8 C19 C18 O21 O20
 PATCH FIRST NONE LAST NONE

RESI MD2 -1.00
 GROUP
 ATOM C1 CX1 0.52397300 ! O7 O13 O14
 ATOM C2 CXP -0.25191200 ! \ | /
 ATOM C3 CXP -0.35030700 ! S6 O8
 ATOM C4 CX1 0.50381500 ! \ ||
 ATOM N5 NX 0.19702600 ! H16--C3----C4 O11 H19
 ATOM S6 SX 1.28128900 ! | \ || |
 ATOM O7 OXS -0.68956867 ! | N5--O9--C10--C15--H20
 ATOM O8 OX1 -0.50866300 ! | / |
 ATOM O9 OXE -0.44731500 ! H17--C2----C1 H21
 ATOM C10 CX 0.91610900 ! / ||
 ATOM O11 OX -0.60061700 ! H18 O12
 ATOM O12 OX1 -0.55909700

ATOM O13 OXS -0.68956867
 ATOM O14 OXS -0.68956867
 ATOM C15 CX3 -0.53310300
 ATOM H16 HXP 0.16991500
 ATOM H17 HXP 0.15192200
 ATOM H18 HXP 0.11192300
 ATOM H19 HX3 0.15458267
 ATOM H20 HX3 0.15458267
 ATOM H21 HX3 0.15458267
 BOND C1 O12 C1 C2 C1 N5 C2 H17 C2 H18
 BOND C2 C3 C3 H16 C3 S6 S6 O7 S6 O13 S6 O14
 BOND C3 C4 C4 O8 C4 N5 N5 O9 O9 C10 C10 O11
 BOND C10 C15 C15 H19 C15 H20 C15 H21
 IMPR C10 O9 C15 O11
 PATCH FIRST NONE LAST NONE

RESI MD3 0.00
 GROUP
 ATOM C1 CX3 -0.52594100 !
 ATOM C2 CXC 0.81894802 ! H10 O4 H7
 ATOM C3 CX3 -0.52594100 ! | || |
 ATOM O4 OXC -0.59285400 ! H9---C1---C2---C3---H6
 ATOM H5 HX3 0.13763133 ! | |
 ATOM H6 HX3 0.13763133 ! H8 H5
 ATOM H7 HX3 0.13763133 !
 ATOM H8 HX3 0.13763133
 ATOM H9 HX3 0.13763133
 ATOM H10 HX3 0.13763133
 BOND C1 C2 C1 H8 C1 H8 C1 H10 C2 O4
 BOND C2 C3 C3 H5 C3 H6 C3 H7
 IMPR C2 C1 C3 O4
 PATCH FIRST NONE LAST NONE

RESI MD4 0.00
 ATOM C1 CX3 -0.50911400 !
 ATOM C2 CXC 0.71676400 ! H11 O7 H9 O8 H14
 ATOM C3 CX2 -0.27276800 ! | || | || |
 ATOM C4 CX 0.85553601 ! H12---C1---C2---C3---C4---O5---C6---H15
 ATOM O5 OXE -0.46976000 ! | | | |
 ATOM C6 CX3 0.09729700 ! H13 H10 H16
 ATOM O7 OXC -0.55049700
 ATOM O8 OX -0.61439100
 ATOM H9 HX2 0.07147500
 ATOM H10 HX2 0.07147500
 ATOM H11 HX3 0.14378433

ATOM H12 HX3 0.14378433
 ATOM H13 HX3 0.14378433
 ATOM H14 HX3 0.05754333
 ATOM H15 HX3 0.05754333
 ATOM H16 HX3 0.05754333
 BOND C1 H11 C1 H12 C1 H13 C1 C2 C2 O7 C2 C3 C3 C4
 BOND C6 H14 C6 H15 C6 H16 C6 O5 O5 C4 C4 O8
 IMPR C2 C1 C3 O7 C4 C3 O5 O8
 PATCH FIRST NONE LAST NONE

RESI MD5 0.00
 ATOM C1 CX3 -0.59900900 !
 ATOM C2 CXC 0.78406000 ! H11 O3 H9 H14 O7 H16
 ATOM O3 OXC -0.58167650 ! | || | | || |
 ATOM C4 CX2 -0.19318400 ! H12--C1---C2---C4---C5---C6---C8---H17
 ATOM C5 CX2 -0.19318400 ! | | | | |
 ATOM C6 CXC 0.78406000 ! H13 H10 H15 H18
 ATOM O7 OXC -0.58167650
 ATOM C8 CX3 -0.59900900
 ATOM H9 HX2 0.06276825
 ATOM H10 HX2 0.06276825
 ATOM H11 HX3 0.15475767
 ATOM H12 HX3 0.15475767
 ATOM H13 HX3 0.15475767
 ATOM H14 HX2 0.06276825
 ATOM H15 HX2 0.06276825

```
ATON H16      HX3      0.15475767
ATON H17      HX3      0.15475767
ATON H18      HX3      0.15475767
BOND C1 H11 C1 H12 C1 H13 C1 C2 C2 O3 C2 C4
BOND C8 H16 C8 H17 C8 H18 C8 C6 C6 O7 C6 C5
BOND C4 H9 C4 H10 C4 C5 C5 H14 C5 H15
IMPR C2 C1 C4 O3 C6 C5 C8 O7
PATCH FIRST NONE LAST NONE
```

7.2. Arquivo Parâmetro

```
* CHARMM format parameter file for cross-linkings
*
! Compiled by:
! Paulo Cesar Telles de Souza
! Department of Physical Chemistry, Institute of Chemistry
! State University of Campinas
! psouza@iqm.unicamp.br or paulocts@gmail.com
!
! Topology definitions for ALC's
!
! references:
! - lipid, protein, sugar and nucleic acid sections in CHARMM22 and CHARMM27

BONDS
!
!V(bond) = Kb(b - b0)**2
!
!Kb: kcal/mole/A**2
!b0: A
!
!atom type    Kb        b0
!
HXP    CXP    309.000   1.08889911 ! => HA-CT2 and HAL2-CTL2
CXP    CXP    222.500   1.52904214 ! => CTL2-CTL2 and CT2-CT2
CXP    CX1    200.000   1.51425614 ! => CTL2-CL and CT2-CC
CX1    OX1    860.000   1.19512679 ! => CN1T-ON1
CX1    NX     340.000   1.40421786 ! => CN1-NN2U and CN1T-NN2U
NX     OXE    414.900   1.38053214 ! => amber parameter NC-OS: Kb 414.900 and b0 1.395 => other: Ab initio Kb 748.841 ? need to check
OXE    CX     150.000   1.37696929 ! => OSL-CL
CX     OX     750.000   1.191115643 ! => OBL-CL
CX     CX2    200.000   1.50281333 ! => CT2-CC
CXC    CX2    200.000   1.52173167 ! => CD1-CC316 and CD1-CC325
CXC    OXC    445.000   1.19592667 ! => CD1-O1
CX2    HX2    309.000   1.09321017 ! => CT2-HA and CTL2-HAL2
CX2    CX2    222.500   1.52925846 ! => CT2-CT2 and CTL2-CTL2
CX3    CX     200.000   1.49587000 ! => CTL3-CL and CT3-CC
CX3    HX3    322.000   1.08223000 ! => HA-CT3 and HAL3-CTL3
CC     CX2    200.000   1.52200000 ! => CC-CT2
CC     NH1    430.000   1.36000000 ! => CC-NH2
```

```

ANGLES
!
!V(angle) = Ktheta(Theta - Theta0)**2
!
!V(Urey-Bradley) = Kub(S - S0)**2
!
!Ktheta: kcal/mole/rad**2
!Theta0: degrees
!Kub: kcal/mole/A**2 (Urey-Bradley)
!S0: A
!
!atom types      Ktheta      Theta0      Kub      S0
!
HXP  CXP  CXP    34.530   112.772661  22.53   2.17900 ! => HN8-CN8-CN8
HXP  CXP  HXP    35.500   107.351143   5.40   1.80200 ! => HA-CT2-HA and HN8-CN8-HN8
HXP  CXP  CX1    33.000   109.176001   30.00   2.16300 ! => HA-CT2-C
CXP  CXP  CX1    52.000   105.444750           ! => CT2-CT2-C
CXP  CX1  NX     80.000   106.305464           ! => NH1-C-CT2
CXP  CX1  OX1    80.000   129.167429           ! => CT2-C-O
CX1  NX   CX1    130.000   114.234143           ! => CPH2-NR1-CPH1
OX1  CX1  NX     100.000   124.556464           ! => ON1-CN1-NN2U
CX1  NX   OXE    100.000   121.124750           ! => no analogue => ON1-CN1-NN2U
NX   OXE  CX     100.000   115.184714           ! => no analogue => ON1-CN1-NN2U
OXE  CX   OX     90.000   121.475000  160.00   2.25760 ! => OSL-CL-OBL
OXE  CX   CX2    55.000   110.538917   20.00   2.32600 ! => OSL-CL-CTL2
OX   CX   CX2    70.000   128.156667   20.0    2.44200 ! => OBL-CL-CTL2
OXC  CXC  CX2    140.000   121.136500           ! => CC331M-CD1-O1,CC316-CD1-O1 and CC325-CD1-O1
CX   CX2  HX2    33.000   108.106167   30.00   2.16300 ! => CL-CTL2-HAL2 and C-CT2-HA
CXC  CX2  HX2    33.000   108.577000   30.00   2.16300 ! => CL-CTL2-HAL2 and C-CT2-HA and CC-CT2-HA
HX2  CX2  HX2    35.500   106.564694   5.40    1.80200 ! => HAL2-CTL2-HAL2 and HA-CT2-HA
CXC  CX2  CX     52.000   111.316500           ! => CT2-CT2-C and CTL*-CTL2-CL
CX2  CXC  CX2    27.000   117.688333           ! => CC325-CD1-CC325, CC325-CD1-CC316 and CC331M-CD1-CC331M
CX   CX2  CX2    52.000   112.152700           ! => CL-CTL2-CTL2 and C-CT2-CT2
CXC  CX2  CX2    52.000   113.777250           ! => CL-CTL2-CTL2 and C-CT2-CT2
CX2  CX2  HX2    26.500   110.212782   22.53   2.17900 ! => CTL2-CTL2-HAL2 and CT2-CT2-HA
CX2  CX2  CX2    58.350   111.124750   11.16   2.56100 ! => CTL2-CTL2-CTL2 and CT2-CT2-CT2
OX   CX   CX3    70.000   128.071000   20.00   2.44200 ! => OBL-CL-CTL3
OXE  CX   CX3    55.000   109.430000   20.00   2.32600 ! => OSL-CL-CTL3
CX   CX3  HX3    33.000   109.242670   30.00   2.16300 ! => CL-CTL3-HAL3 and C-CT3-HA
HX3  CX3  HX3    35.500   109.697000   5.40    1.80200 ! => HAL3-CTL3-HAL3 and HA-CT3-HA
O   CC   CX2    15.000   121.000000   50.00   2.44000 ! => O-CC-CT2
NH1  CC   CX2    50.000   116.500000   50.00   2.45000 ! => NH2-CC-CT2
CC   CX2  HX2    33.000   109.500000   30.00   2.16300 ! => CT2-CC-HA
CC   CX2  CX2    52.000   108.000000           ! => CT2-CT2-CC
CC   NH1  CT2    50.000   120.000000           ! => CT2-NH1-C

```

NH1	CC	O	80.000	122.500000	\Rightarrow O-C-NH1
CC	NH1	H	34.000	123.000000	\Rightarrow H-NH1-C

DIHEDRALS

```

!
!V(dihedral) = Kchi(1 + cos(n(chi) - delta))
!
!Kchi: kcal/mole
!n: multiplicity
!delta: degrees
!
!atom types      Kchi    n    delta
!
! mobile part I
OXC  CXC  CX2  CX   1.0500  1   180.000 ! | => no analogue => O1-CD1-CC316-CC316
OXC  CXC  CX2  CX   0.4000  2   180.000 ! | => O1-CD1-CC316-HCA1
OXC  CXC  CX2  CX   0.6000  3   180.000 ! |
OXC  CXC  CX2  HX2  0.0000  3   180.000 ! | => O1-CD1-CC316-HCA1
OXC  CXC  CX2  CX2  1.0500  1   180.000 ! |
OXC  CXC  CX2  CX2  0.4000  2   180.000 ! | => O1-CD1-CC316-CC316
OXC  CXC  CX2  CX2  0.6000  3   180.000 ! |
CX2  CXC  CX2  HX2  0.1600  3   0.000 ! | => CC325-CD1-CC316-HCA1
CX2  CXC  CX2  CX   1.4000  1   0.000 ! | => no analogue => CC325-CD1-CC316-CC316
CX2  CXC  CX2  CX   0.2200  3   180.000 ! |
CX2  CXC  CX2  CX2  1.4000  1   0.000 ! | => CC325-CD1-CC316-CC316
CX2  CXC  CX2  CX2  0.2200  3   180.000 ! |
HX2  CX2  CX  OX   0.0000  6   180.000 ! | => OBL-CL-CTL2-HAL2
CXC  CX2  CX  OX   0.0200  4   180.000 ! | => no analogue => CTL2-CTL2-CL-OBL
CXC  CX2  CX  OX   0.0250  2   180.000 ! |
CX2  CX2  CX  OX   0.0200  4   180.000 ! | => CTL2-CTL2-CL-OBL
CX2  CX2  CX  OX   0.0250  2   180.000 ! |
HX2  CX2  CX  OXE  0.0000  6   180.000 ! | => OSL-CL-CTL2-HAL2
CX2  CX2  CX  OXE  0.0600  4   0.000 ! | => CTL2-CTL2-CL-OSL
CX2  CX2  CX  OXE  0.1060  3   180.000 ! |
CX2  CX2  CX  OXE  0.4390  2   180.000 ! |
CX2  CX2  CX  OXE  0.1530  1   0.000 ! |
CXC  CX2  CX  OXE  0.0600  4   0.000 ! | => no analogue => CTL2-CTL2-CL-OSL
CXC  CX2  CX  OXE  0.1060  3   180.000 ! |
CXC  CX2  CX  OXE  0.4390  2   180.000 ! |
CXC  CX2  CX  OXE  0.1530  1   0.000 ! |
CX2  CX  OXE  NX   2.0500  2   180.000 ! | => X-CL-OSL-X
OX  CX  OXE  NX   0.9650  1   180.000 ! | => OBL-CL-OSL-CTL2, OBL-CL-OSL-CTL3 and OBL-CL-OSL-CTL1
OX  CX  OXE  NX   3.8500  2   180.000 ! |
HX3  CX3  CX  OX   0.0000  6   180.000 ! | => OBL-CL-CTL3-HAL3
HX3  CX3  CX  OXE  0.0500  6   180.000 ! | => X-CL-CTL3-X

```

```

! mobile part II
CX2 CX2 CX2 CX      0.5190  1    0.000 ! |
CX2 CX2 CX2 CX      0.6620  2    0.000 ! |
CX2 CX2 CX2 CX      0.3070  3   180.000 ! |
CX2 CX2 CX2 CX      0.0980  4    0.000 ! | => CTL2-CTL2-CTL2-CL
CX2 CX2 CX2 CXC     0.5190  1    0.000 ! |
CX2 CX2 CX2 CXC     0.6620  2    0.000 ! |
CX2 CX2 CX2 CXC     0.3070  3   180.000 ! |
CX2 CX2 CX2 CXC     0.0980  4    0.000 ! |

! mobile part III
CXC CX2 CX2 CX      0.5190  1    0.000 ! |
CXC CX2 CX2 CX      0.6620  2    0.000 ! |
CXC CX2 CX2 CX      0.3070  3   180.000 ! | no analogue => CTL2-CTL2-CTL2-CL and
CXC CX2 CX2 CX      0.0980  4    0.000 ! |           CTL3-CTL2-CTL2-CL
CXC CX2 CX2 HX2     0.1900  3    0.000 ! | => X-CTL2-CTL2-X
CX  CX2 CX2 HX2     0.1900  3    0.000 ! | => X-CTL2-CTL2-X

! mobile part IV
CX2 CX2 CX2 HX2     0.1900  3    0.000 ! | => X-CTL2-CTL2-X
HX2 CX2 CX2 HX2     0.1900  3    0.000 ! | => X-CTL2-CTL2-X

CX2 CX2 CX2 CX2     0.06450 2    0.000 ! |
CX2 CX2 CX2 CX2     0.14975 3   180.000 ! | => CTL2-CTL2-CTL2-CTL2
CX2 CX2 CX2 CX2     0.09458 4    0.000 ! |
CX2 CX2 CX2 CX2     0.11251 5    0.000 ! |

! ring part I
OXE NX  CX1 OX1     10.0000 1   180.000 ! | => O-C-NH1-CT2
CX1 NX  CX1 OX1     10.0000 1    0.000 ! | => O-C-NH1-CT2
CX1 NX  CX1 CXP     10.0000 1   180.000 ! | => O-C-NH1-CT2
OXE NX  CX1 CXP     1.6000 1    0.000 ! | => CT2-C-NH1-CT2
NX  CX1 CXP CXP    0.0000 1   180.000 ! | => NH1-C-CT2-CT2
OX1 CX1 CXP CXP    1.4000 1    0.000 ! | => O-C-CT2-CT2
NX  CX1 CXP HXP     0.0000 3    0.000 ! | => NH1-C-CT2-HA
OX1 CX1 CXP HXP     0.0000 3   180.000 ! | => NH1-C-CT2-CT2
CX1 CXP CXP CX1    0.1950 3   180.000 ! |
HXP CXP CXP CX1    0.1950 3    0.000 ! | => X-CN8-CN8-X and X-CT2-CT2-X
HXP CXP CXP HXP    0.1950 3   180.000 ! |
CX3 CX  OXE NX     1.6000 1    0.000 ! | => X-CL-OSL-X

! ring part II
CX  OXE NX  CX1    -0.3221625   1    0.000  ! |
CX  OXE NX  CX1     1.1590500   2    0.000  ! | => Ab Initio Gaussian Calculations
CX  OXE NX  CX1     0.2270675   3    0.000  ! |

! residue link
H1  NH1  CC  CX2     2.5000   2   180.00  ! => H-NH1-C-CT2
CX2 NH1  CC  CX2     1.6000   1    0.00  ! => CT2-C-NH1-CT2
CX2 NH1  CC  CX2     2.5000   2   180.00  !
NH1  CC  CX2 HX2     0.0000   3   180.00  ! NH2-CC-CT2-HA and NH1-C-CT2-HA
O   CC  CX2 HX2     0.0000   3   180.00  ! O-CC-CT2-HA and O-C-CT2-HA
NH1  CC  CX2 CX2     0.0000   1    0.00  ! => NH1-C-CT2-CT2
O   CC  CX2 CX2     1.4000   1    0.00  ! => O-C-CT2-CT2

```

CX2	CX2	CX2	CC	0.5190	1	0.000	
CX2	CX2	CX2	CC	0.6620	2	0.000	=> CTL2-CTL2-CTL2-CL
CX2	CX2	CX2	CC	0.3070	3	180.000	
CX2	CX2	CX2	CC	0.0980	4	0.000	
CC	CX2	CX2	HX2	0.1900	3	0.000	=> X-CTL2-CTL2-X
CT2	CT2	NH1	CC	1.8000	1	0.000	=> CT2-CT2-NH1-C
CT2	NH1	CC	O	2.5000	2	180.00	=> O-C-NH1-CT2
CT2	NH1	CC	CX2	1.6000	1	0.00	=> CT2-C-NH1-CT2
HA	CT2	NH1	CC	0.0000	3	0.00	=> HA-CT2-NH1-C
H	NH1	CC	O	2.5000	2	180.00	=> O-C-NH1-H
H	NH1	CC	CX2	2.5000	2	180.00	=> O-C-NH1-CT2

```

IMPROPER
!
!V(improper) = Kpsi(psi - psi0)**2
!
!Kpsi: kcal/mole/rad**2
!psi0: degrees
!note that the second column of numbers (0) is ignored
!
!atom types          Kpsi                  psi0
!
CX    OXE   CX2   OX      100.00    0      0.00 ! => OBL-X-X-CL
CX    OXE   CX3   OX      100.00    0      0.00 ! => OBL-X-X-CL
CXC   CX2   CX2   OXC     100.00    0      0.00 ! => OBL-X-X-CL
OX    OXE   CX2   CX      100.00    0      0.00 ! => OBL-X-X-CL
CC    NH1   CX2   O       120.00    0      0.00 ! => O-X-X-C
H     CT2   CX2   NH1     20.00    0      0.00 ! => H-X-X-NH1

```

```

NONBONDED nbxmod 5 atom cdiel shift vatom vdistance vswitch -
cutnb 14.0 ctfnb 12.0 ctonnb 10.0 eps 1.0 e14fac 1.0 wmin 1.5
!adm jr., 5/08/91, suggested cutoff scheme
!
!V(Lennard-Jones) = Eps,i,j[(Rmin,i,j/ri,j)**12 - 2(Rmin,i,j/ri,j)**6]
!
!epsilon: kcal/mole, Eps,i,j = sqrt(eps,i * eps,j)
!Rmin/2: A, Rmin,i,j = Rmin/2,i + Rmin/2,j
!
!atom ignored epsilon Rmin/2 ignored eps,1-4 Rmin/2,1-4
!
CX2      0.000    -0.0550   2.175     0.000    -0.010      1.900 ! => CT2
CXP      0.000    -0.0560   2.010     0.000    -0.010      1.900 ! => CTL2 and CN8
HX2      0.000    -0.0220   1.320
HXP      0.000    -0.0280   1.340
CXC      0.000    -0.1100   2.000
CX       0.000    -0.0700   2.000
CX1      0.000    -0.1000   1.900
OX1      0.000    -0.1200   1.700
NX       0.000    -0.2000   1.850
OXE      0.000    -0.1521   1.770
OX       0.000    -0.1200   1.700     0.000    -0.120      1.400 ! => O and OBL
OXC      0.000    -0.1200   1.700     0.000    -0.120      1.400 ! => O and OBL
CX3      0.000    -0.0800   2.060     0.000    -0.010      1.900 ! => CT3
HX3      0.000    -0.0220   1.320
!
!SX
!OXS

```